



Remarcabilă invenție a zilelor noastre, laserul suscită nu numai interesul omului de știință, ci și pe cel al multor alți oameni. S-au scris și se vor mai scrie încă multe cărți despre laseri, pretutindeni în lume. Ziarele și revistele publică adesea scurte notițe despre noi aplicații și realizări ale laserului. Puține dintre acestea capătă semnificații corecte în mintea cititorului neavizat. De aceea, cartea de față își propune să dea o imagine onestă a ceea ce este și poate să facă un laser.



DAN APOSTOL

## Laserii



Buzău, 8 iunie 1982  
S. J. C.

### Unități de măsură; multipli și submultipli

1. Unitatea de măsură pentru lungime: metrul (m);

$$1 \text{ m} = 100 \text{ cm} = 1\,000 \text{ mm}$$

$$1 \text{ micrometru} = 1 \mu\text{m} = 1/1\,000\,000 \text{ m} = 10^{-6} \text{ m}$$

$$1 \text{ nanometru} = 1 \text{ nm} = 1/1\,000\,000\,000 \text{ m} = 10^{-9} \text{ m}$$

$$1 \text{ Ångström} = 1 \text{ Å} = 1/10\,000\,000\,000 \text{ m} = 10^{-10} \text{ m}$$

2. Unitatea de măsură a timpului: secunda (s);

$$1 \text{ milisecundă} = 1/1\,000 \text{ s} = 10^{-3} \text{ s}$$

$$1 \text{ microsecundă} = 1/1\,000\,000 \text{ s} = 10^{-6} \text{ s}$$

$$1 \text{ nanosecundă} = 1/1\,000\,000\,000 \text{ s} = 10^{-9} \text{ s}$$

$$1 \text{ picosecundă} = 1/1\,000\,000\,000\,000 \text{ s} = 10^{-12} \text{ s}$$

3. Unitatea de măsură pentru energie: joulele (J);

$$1 \text{ Joule} = 1000 \text{ mJ} = 1\,000\,000 \mu\text{J}$$

$$1 \text{ kJ} = 1000 \text{ J}$$

4. Unitatea de măsură pentru putere: wattul (W);

$$1 \text{ watt} = 1000 \text{ mW} = 1\,000\,000 \mu\text{W}$$

$$1 \text{ kW} = 1000 \text{ W}$$

5. Unitatea de măsură a frecvenței: hertzul (Hz);

$$1 \text{ Hz} = 1 \text{ oscilație / secundă}$$

$$1 \text{ kHz} = 1000 \text{ Hz} = 10^3 \text{ Hz}$$

$$1 \text{ MHz} = 1\,000\,000 \text{ Hz} = 10^6 \text{ Hz}$$



## 1. PRINCIPIILE FUNCȚIONĂRII LASERILOR

### 1.1. Istoric

În mod inevitabil, o carte despre laseri începe prin explicarea termenului LASER. Originea sa vine de la inițialele cuvintelor *Light Amplification by Stimulated Emission of Radiation* sau în traducere amplificarea luminii prin emisia stimulată a radiației. Astfel, numele definește principiul: lumina laser este lumină amplificată printr-un proces fizic, enunțat de Einstein încă în anul 1917, procesul de emisie stimulată a luminii.

Ideea amplificării prin intermediul emisiei stimulate a fost preconizată de mai mulți cercetători printre care J. Webber, N. G. Basov, A. M. Prohorov, Ch. Townes.

Primul dispozitiv amplificator a fost realizat de Ch. Townes în 1951. Mediul amplificator era amoniacul, iar radiația amplificată prin procesul emisiei stimulate avea lungimea de undă de aproximativ 1,25 cm, deci făcea parte din domeniul *microundelor*. A apărut astfel MASER-ul.

Mai târziu, în 1958, A. L. Schawlow și C. H. Townes au sugerat posibilitatea utilizării aceluiași fenomen de emisie stimulată la amplificarea luminii, propunând folosirea unei cavități rezonante deschise, formată din două oglinzi față în față, între care se află mediul amplificator stimulat să emită. Înlocuind inițiala cuvântului microundă cu inițiala cuvântului lumină s-a ob-

ținut LASER; de la apariția termenului și pînă la apariția obiectului fizic astfel denumit au mai trecut doi ani.

În 1960 T. H. Maiman de la Laboratoarele de cercetări Hughes (S.U.A.) a obținut pentru prima dată lumină laser sub forma unui puls de scurtă durată de lumină roșie. Mediul activ era format dintr-o bară de cristal de rubin. Primul laser capabil să emită în mod continuu a fost obținut în 1961 de A. Javan, W. R. Bennett Jr. și D. R. Herriot în laboratoarele Bell Telephone din S.U.A. Laserul construit de ei emitea un fascicul de lumină infraroșie ( $\lambda = 11\,523\text{ \AA}$ ) produs prin excitarea unui amestec de heliu și neon. Doi ani mai tîrziu, în 1962, același amestec de gaze producea un fascicul laser continuu de lumină roșie ( $\lambda = 6\,328\text{ \AA}$ ), rezultat obținut de A. D. White și J. D. Rigden.

Anul 1962 marchează apariția laserului cu semiconductori, în 1963 apărînd primul laser cu mediu activ lichid, iar în 1964 fiind construit primul laser chimic și primul laser molecular cu  $\text{CO}_2$ .

În 1966 P. P. Sorokin de la laboratoarele I. B. M. raportează apariția laserului cu colorant și istoria laserilor continuă și azi.

Se poate vorbi de cîteva mii de linii laser, emise de o mare varietate de medii active, în condiții dintre cele mai diferite de excitare și într-o gamă foarte bogată de puteri și lungimi de undă.

Desigur, din această multitudine de laseri cîteva s-au impus prin calitățile luminii emise și prin varietatea și importanța aplicațiilor. La acești laseri ne vom referi în cele ce urmează.

## 1.2. Emisia stimulată și laserii

Pentru a înțelege mecanismul prin care laserii ajung să emită lumină să considerăm pe scurt fenomenele

care au loc într-o banală reclamă luminoasă. După cum se știe, reclamele sînt formate din tuburi de sticlă umplute cu gaze nobile, de tipul neonului, la presiune joasă de numai cîteva milimetri coloană de mercur. La capetele tubului se aplică, prin doi electrozi, o tensiune electrică ridicată. Această tensiune provoacă apariția unui curent electric însoțit de o emisie luminoasă binecunoscută.

Spre deosebire de becul cu filament incandescent, tubul cu gaz este practic rece. Pe de altă parte, în timp ce filamentul incandescent emite o lumină albă, tubul de descărcare al reclamei emite o culoare specifică gazului din interior.

O experiență mai de finețe ne permite să facem o distincție mai profundă. Să lăsăm lumina emisă de cele două surse luminoase, filamentul incandescent și tubul de descărcare, să treacă, separat, printr-o prismă de sticlă (fig. 1). După cum se știe, prisma are proprietatea de a descompune lumina în culorile componente. Lumina becului cu filament incandescent, lumină albă, va fi descompusă în toate cele șapte culori ale curcubeu-

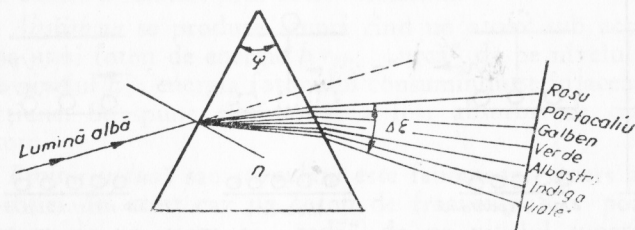


Fig. 1. Descompunerea luminii albe la trecerea printr-o prismă de sticlă

lui: roșu, portocaliu, galben, verde, albastru, indigo și violet. Între culori nu există zone marcate de trecere. Se spune că emisia se face în benzi continue, sau că

spectrul luminii emise de filamentul incandescent este un spectru continuu. În schimb, lumina tubului de descărcare va prezenta, după trecerea prin prismă, un spectru format din largi zone întunecoase și un număr limitat de zone înguste, distincte, de culori diferite. Una sau mai multe din aceste zone, sau linii spectrale, luminoase este mai intensă și impune culoarea caracteristică dominantă a descărcării. Configurația distinctă de linii luminoase astfel obținută este o caracteristică a gazului respectiv și se numește spectru discret.

Această particularitate a spectrului gazelor sugerează că explicația fenomenului se bazează pe existența unor nivele de energie distincte, bine definite, discrete, pe care se poate situa un atom. Într-adevăr, se știe că energia unui atom nu poate lua decât un set discontinuu de valori  $E_0, E_1, E_2, \dots, E_i, E_j \dots E_n$  (fig. 2).

Înainte de aprinderea tubului, atomii neexcitați, au de regulă energia cea mai joasă, se află deci pe nivelul

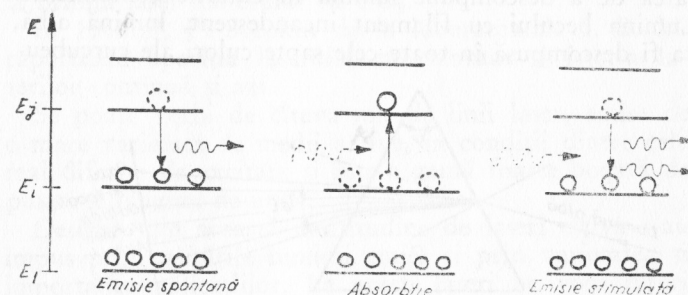


Fig. 2. Schema tranzițiilor unui atom între două nivele energetice  $E_i$  și  $E_j$

de energie fundamentală,  $E_0$ . Efectul curentului electric, care furnizează energie gazului, este că repartizează atomi și pe nivelele de energie superioare. O linie lumi-

noasă din spectrul gazului corespunde unei treceri a atomului respectiv de pe un nivel excitat superior, pe un nivel inferior, adică unei reveniri a atomului în starea de echilibru, în starea de energie minimă. Astfel fenomenul de producere a luminii este intim legat de tranzițiile atomilor de pe un nivel energetic pe altul.

Tranzițiile atomice sînt de mai multe feluri.

*Emisia spontană* se produce atunci cînd atomul „cade” de pe un nivel energetic superior,  $E_j$ , pe un nivel energetic inferior,  $E_i$ , emițînd o cantitate de lumină, o cuantă de lumină sau un foton, purtătoare a diferenței de energie dintre cele două nivele energetice. Frecvența acestui foton este

$$\nu = (E_j - E_i) / h, \quad (1)$$

unde  $h$  este constanta lui Plank, egală cu  $6,625 \cdot 10^{-34}$  J.s. Tranzițiile spontane se produc la momente de timp întîmplătoare. Nu există nici o corelație între fotonul emis de un atom dat și alt foton emis mai tîrziu de un alt atom. De aici numele de emisie spontană a fenomenului de emisie a luminii prin acest mecanism.

*Absorbția* se produce atunci cînd un atom, sub acțiunea unui foton de energie  $h\nu_{ij}$ , „urcă” de pe nivelul  $E_i$  pe nivelul  $E_j$ , energia fotonului consumîndu-se în această acțiune. Se spune că fotonul a fost absorbit de către atom.

*Emisia indusă sau stimulată* este fenomenul invers absorbției. În acest caz un foton de frecvență  $\nu_{ij}$  poate determina un atom să „cadă” de pe nivelul superior  $E_j$  pe nivelul  $E_i$ . Atomul este astfel „împins”, stimulată să emită un foton. Caracteristic acestui fenomen este faptul că fotonul emis stimulat are exact aceleași caracteristici cu fotonul inductor. Există deci o corelație între fotonul indus și fotonul inductor. În condiții normale, cum ar fi cele din reclama luminoasă cu neon,



primul fenomen, cel de emisie spontană, este dominant, iar în cazul laserului emisia stimulată predomină mult față de celelalte două fenomene. Iată deci diferența fundamentală dintre mecanismele de producere ale luminii „obișnuite” și luminii laser.

Rezultă așadar că e nevoie de niște condiții anormale pentru a asigura preponderența luminii emise stimulat asupra luminii emise spontan. Într-adevăr, pentru a obține lumină laser e nevoie ca pe nivelul superior  $E_j$  să avem mult mai mulți atomi decât pe nivelul inferior  $E_i$ . Se spune că nivelul  $E_i$  trebuie să fie mai populat decât nivelul  $E_j$  sau că trebuie să se realizeze o inversie de populație între cele două nivele. Aceasta este o situație anormală, tendința atomilor fiind de a se situa pe stări de energie cât mai coborâte. Este deci nevoie de un mecanism prin care atomii să fie pompați pe nivelul superior.

Pompajul se face electric, fonic sau chimic și constă în a furniza atomilor energia necesară pentru a trece în starea energetică superioară.

Odată realizată inversia de populație e nevoie de câțiva fotoni de frecvență  $\nu_{ij}$  care să determine emisia forțată a atomilor de pe nivelul  $E_j$ . Un astfel de foton inductor poate fi emis spontan chiar de unul dintre atomii în cauză. El va induce emisia unui alt foton cu aceleași caracteristici ca și ale lui, acești doi fotoni vor induce producerea altor doi și tot așa procesul continuă. Fotonul singular inițial este multiplicat, amplificat de nenumărate ori. Pentru ca procesul să nu se stingă este nevoie, pe de o parte, ca mecanismul de pompaj să furnizeze continuu energie atomilor mediului activ laser, iar pe de altă parte, să se utilizeze o cavitate rezonantă.

O cavitate rezonantă laser este în general formată din două oglinzi față în față. Între aceste două oglinzi fotonii sînt reflectați și obligați să parcurgă de mai multe ori mediul activ, la fiecare trecere fiecare foton producînd o avalanșă de fotoni asemenea lui.

Procesul de amplificare nu este nelimitat. Oglinzile cavității rezonante nu reflectă total. Una dintre ele este puțin transparentă, permițînd luminii amplificate să iasă sub forma unui fascicul îngust și foarte intens. Astfel se ajunge la un echilibru între amplificare și pierderi, care limitează procesul de amplificare.

### 1.3. Funcționarea laserului cu rubin

După cum am văzut, un laser trebuie să cuprindă un mediu activ amplificator (gazos, lichid, sau solid), un mecanism de pompaj (sistem de excitare) și o cavitate rezonantă.

Vom lua ca exemplu laserul cu rubin, primul în ordine cronologică. Mediul activ este format dintr-o bară de rubin roz sau corindon ( $\text{Al}_2\text{O}_3$ ), dopat cu aproximativ 0,05% ioni de crom  $\text{Cr}^{+++}$ . Ionul de crom înlocuiește ionul de aluminiu  $\text{Al}^{+++}$  în rețeaua cristalului și între două nivele energetice ale ionului de crom trebuie produsă inversia de populație.

Pompajul se face cu ajutorul unei lămpi de descărcare de tipul fulger (blitz), cunoscută din tehnica fotografică (fig. 3).

Deoarece pompajul se face cu ajutorul luminii, este vorba de un pompaj fonic, iar fenomenul implicat este absorbția luminii.

Cavitatea rezonantă cuprinde două oglinzi față în față între care se află bara de rubin transparentă. Oglinzile reflectă bine numai fotoni de o anumită frecvență, corespunzătoare tranziției implicate în procesul de emisie stimulată și deci numai aceștia sînt amplificați. Se obține astfel o lumină laser sub forma unui fascicul îngust de culoare roșie, de lungime de undă 6943 Å, deosebit de intens.

Deoarece mecanismul de pompaj nu durează decât câteva miimi de secundă, inversia de populație nu se poate menține mai mult de atât. Rezultă deci un puls laser foarte scurt.

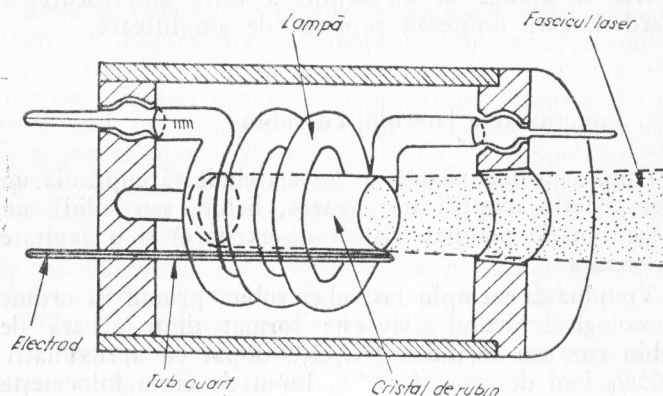


Fig. 3. Schema unui laser cu rubin.

În concluzie, laserul cu rubin este un laser cu mediu activ solid, pompat fonic, care funcționează în impulsuri. El emite un fascicul de lumină roșie de durată scurtă, de mare intensitate și cu proprietăți remarcabile.

## 2. PROPRIETĂȚILE LUMINII LASER

Laserul este, după cum am văzut, o sursă de lumină. În acest capitol ne propunem să evidențiem diferențele specifice ale luminii laser față de lumina emisă de alte surse. Prin ce este lumina laser deosebită de lumina naturală?

Pentru aceasta vom trece în revistă principalele sale proprietăți: monocromaticitatea, direcționalitatea, coerența și intensitatea. Înțelegerea acestor proprietăți ne va permite o înțelegere corectă a fenomenului laser și o dezvoltare ușoară a capitolului de aplicații ale laserilor.

### 2.1. Monocromaticitatea

Termenul se referă la culoare; o sursă de lumină care emite lumină de o singură culoare se numește sursă de lumină monocromatică. Astfel, geamurile colorate ale lămpadelor transformă lumina albă a becurilor în lumină de o singură culoare, absorbind celelalte culori.

Nu pare deci greu să obținem lumină monocromatică, atât timp cât ne referim numai calitativ la acest subiect. Problema este cât de monocromatică trebuie să fie lumina obținută?



După cum am arătat în primul capitol, cu ajutorul unei prisme putem descompune lumina albă în cele șapte culori ale curcubeului. Trecerea de la o culoare la alta nu se face însă brusc, ci printr-o infinitate de nuanțe. Culoarea este numai reacția ochiului la lumina de o anumită lungime de undă.\* Ochiul este sensibil numai la lumina cu lungimea de undă cuprinsă între 0,4  $\mu\text{m}$  și 0,8  $\mu\text{m}$ . Între aceste două lungimi de undă sînt cuprinse cele șapte culori ale curcubeului, delimitate aproximativ în tabelul 1.

Tabelul 1

Culoarea luminii	Intervalul aproximativ de lungimi de undă $\lambda$ [ $\mu\text{m}$ ]	Culoarea luminii	Intervalul aproximativ de lungimi de undă $\lambda$ [ $\mu\text{m}$ ]
Roșu	0,76—0,63	Verde-albastru	0,50—0,45
Portocaliu	0,63—0,60	Albastru	0,45—0,43
Galben	0,60—0,57	Violet	0,43—0,40
Verde	0,57—0,50		

Se vede astfel că lumina roșie înseamnă un interval de lungimi de undă  $\Delta\lambda = 1\,300\text{ \AA}$  și acesta este intervalul de lumină roșie emis de Soare sau de un bec cu filament incandescent. În cazul descărcărilor în gaze, intervalul de lungimi de undă pe care se emite o culoare este cu mult mai mic. Am arătat că lumina apare ca urmare a tranzițiilor atomilor de pe un nivel energetic superior pe un nivel energetic inferior. Cînd aceste nivele de energie sînt perfect definite, lumina emisă este

\* Lungimea de undă este spațiul parcurs de oscilația luminoasă în timpul unei perioade și se notează cu  $\lambda$ . Între lungimea de undă  $\lambda$  și frecvența  $\nu$  există relația  $\lambda = \frac{c}{\nu}$ ;  $c = 3 \cdot 10^8\text{ m/s}$  = viteza luminii.

formată din fotoni de frecvență bine determinată prin formula (1), din secțiunea 1. La trecerea printr-o prismă se separă fotoni de frecvențe diferite, obținîndu-se raze monocromatice. În realitate, nivelele energetice ale atomilor nu sînt perfect determinate și astfel nu se obține lumină ideal monocromatică. Din cauza unor procese intime ale materiei la nivel atomic, cum ar fi influențele reciproce dintre atomi, deplasarea relativă a atomilor unii față de alții, legăturile dintre atomi, nivelele de energie se lărgesc și lumina emisă se încadrează într-o bandă  $\Delta\lambda$  de lungimi de undă. De la gaze la lichide și solide banda de emisie a tranzițiilor radiative crește continuu, ajungînd să ocupe tot spectrul în cazul filamentului incandescent.

În cazul gazelor, lărgimea de bandă de emisie a unei radiații luminoase poate atinge valori foarte mici. Astfel, lumina verde emisă de vaporii de mercur are o lărgime de bandă de numai  $\Delta\lambda = 20\text{ \AA}$  în jurul lungimii de undă de  $5\,461\text{ \AA}$ . Cu anumite precauții, această lărgime de bandă poate fi coborîtă pînă la fracțiuni de Ångstrom pentru anumite gaze.

Laserul cu heliu și neon poate însă să emită lumină într-un interval de numai  $0,001\text{ \AA}$ ! Cum e posibil acest lucru?

S-ar părea că explicația este dată tot de fenomenul emisie stimulate. Într-adevăr, emisia stimulată impune condiția ca fotonii stimulați să posede aceleași caracteristici cu fotonii inductori. Dacă ne amintim însă că fotonii stimulatori sînt la început fotoni de tip spontan, deci care ocupă întreaga lărgime a nivelelor energetice, vedem că nu acesta este motivul.

Adevărata explicație este dată de prezența cavității rezonante. După cum îi spune și numele, cavitatea rezonantă „răsună” asemeni cutiei unei viori sau tubului de orgă la anumite frecvențe. Altfel spus, din lărgimea



tranziției naturale, cavitatea rezonantă selectează anumite frecvențe, care îi sînt proprii și pe care le lasă să oscileze și să se amplifice (fig. 4).

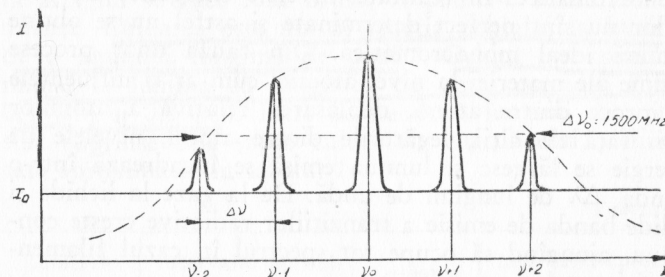


Fig. 4. Lărgimea benzii de emisie a tranziției normale (linia întreruptă) și a tranziției laser (linia plină).

Distanța dintre două astfel de frecvențe proprii, sau moduri, exprimată în hertzi este

$$\Delta\nu_i = \nu_{i+1} - \nu_i = \frac{c}{2l},$$

unde \$l\$ este distanța dintre oglinzile cavității rezonante, iar \$c\$ viteza luminii.

În cazul laserului cu heliu și neon lărgimea totală naturală a luminii descărcării (neonului) este de 1 500 MHz. Pentru un laser de acest tip, cu o cavitate lungă de 1 m și viteza luminii \$c=300\,000\$ km/s, obținem între modurile proprii de oscilație ale cavității rezonante un interval

$$\Delta\nu_i = \frac{3 \cdot 10^8 \text{ m}}{1 \text{ m}} = 300 \text{ MHz},$$

(1 MHz = 1 000 000 Hz) deci numărul de frecvențe proprii acceptate de cavitatea rezonantă va fi cinci.

Dacă micșorăm lungimea cavității rezonante pînă la 20 cm obținem

$$\Delta\nu_i = \frac{3 \cdot 10^8 \text{ m}}{0,2 \text{ m}} = 1\,500 \text{ MHz},$$

în care caz laserul va putea oscila pe o singură frecvență în limitele lărgimii naturale a tranziției (fig. 5).

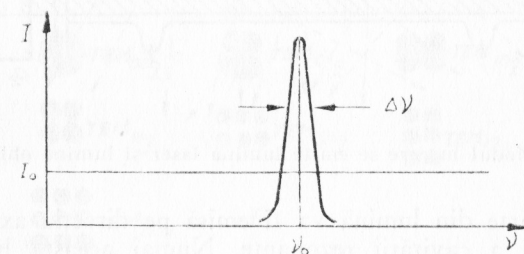


Fig. 5. Laser monofrecvență; \$\Delta\nu=100\$ MHz (\$\Delta\lambda=0,001\$ Å).

Lărgimea acestei unice frecvențe laser este de numai 0,001 Å în condițiile în care lungimea cavității rezonante este menținută constantă în limite foarte strînse.

## 2.2. Direcționalitatea

Direcționalitatea este proprietatea laserului de a emite lumină într-o singură direcție. Sursele clasice de lumină, becul cu filament incandescent sau descărcările electrice în gaze, emit lumină în toate direcțiile, într-un mod mai mult sau mai puțin uniform.

Explicația direcționalității laserului este următoarea. Ne referim la figura 6 care prezintă un tub de descărcare în gaze așezat într-o cavitate rezonantă formată

din două oglinzi paralele una față de alta și perpendiculare pe axa tubului. În tubul de descărcare se găsește mediul activ gazos. Pompă electric, mediul activ va emite lumină în mod spontan în toate direcțiile. O

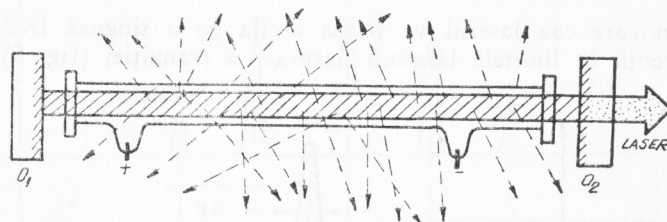


Fig. 6. Modul în care se emite lumina laser și lumina obișnuită.

mică parte din lumină va fi emisă pe direcția axei tubului și a cavității rezonante. Numai această lumină va fi amplificată puternic prin procesul de emisie stimulată întreținut de reflexiile multiple între oglinzile cavității rezonante. Prin emisie stimulată se emit fotoni care se propagă în aceeași direcție și sens cu fotonii stimulatori. Vedem deci că emisia stimulată se desfășoară eficient numai în lungul axei tubului.

Un foton care nu se propagă după această axă este pierdut pentru laser, în timp ce un foton care se propagă cât mai aproape de direcția axei tubului este puternic amplificat.

Iată de ce lumina laser se propagă într-o singură direcție. Am arătat în capitolul precedent că pentru ca lumina laser să iasă din cavitatea rezonantă, una dintre oglinzi are o oarecare transmisie. Astfel, dacă una dintre oglinzi reflectă tot, coeficientul ei de reflexie fiind foarte aproape de sută la sută ( $R=99,8\%$  practic) cea de a doua oglindă, numită și oglindă de extracție, care

permite „ieșirea” fascicului laser din capcana cavității rezonante reflectă mai puțin cu câteva procente ( $R=97-98\%$ ). Se obține astfel un fascicul laser îngust și paralel care poate fi observat pe un paravan.

Am văzut că laserul poate să oscileze — funcție de frecvențele de rezonanță ale cavității rezonante — după mai multe frecvențe apropiate numite și moduri longitudinale. În realitate, există și o structură transversală.

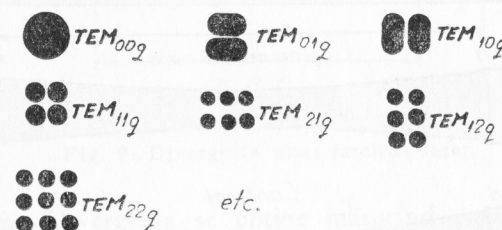


Fig. 7. Structuri modale transversale ale fasciculelor laser.

Într-adevăr, observînd fasciculul roșu, vizibil, al laserului cu heliu și neon, pe un paravan s-ar putea să vedem o structură transversală sau mod transversal. Aceste moduri pot avea forme de genul celor din figura 7.

Apariția acestor moduri transversale de oscilație este legată de forma cavității rezonante și poate fi modificată ușor prin modificarea poziției relative a celor două oglinzi. Oglinzile cavității rezonante pot fi plane sau sferice și se pot combina în configurațiile din figura 8.

Pentru primele două configurații se cere o stabilitate mecanică foarte bună și o mare precizie de aliniere a oglinzilor. Celelalte configurații se aliniază și se mențin mai bine, în schimb favorizează apariția unor moduri de oscilație transversale complicate și de divergență mare.

Pentru o direcționalitate bună se preferă o cavitate cu raze mari de curbura care oscilează în modul  $TEM_{(00q)}$  și care în același timp implică un volum mai mare din mediul activ în procesul de emisie stimulată (vezi fig. 8).

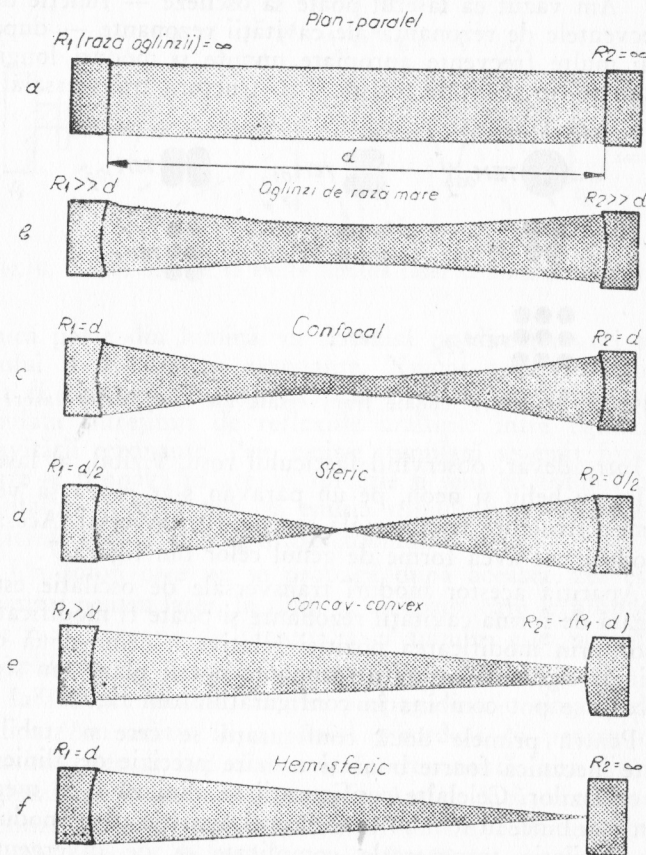


Fig. 8. Configurații posibile de cavități rezonante.

Vom caracteriza direcționalitatea prin mărimea numită divergență, pe care o vom defini simplu ca fiind creșterea razei (transversale) a fascicului laser cu distanța

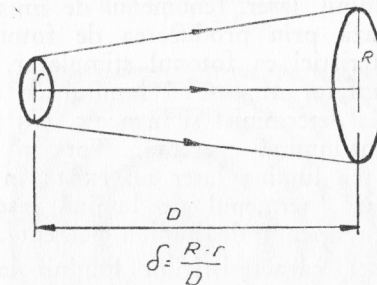


Fig. 9. Divergența unui fascicul laser.

(fig. 9). Divergența se obține măsurând raza fascicului laser la ieșire și la o distanță cunoscută. Divergența tipică pentru laserul cu heliu și neon este de  $10^{-3}$  radiani, ceea ce înseamnă că dacă trimitem un fascicul laser de 1 mm rază la ieșire, la 100 m distanță și măsurăm raza petei laser pe un paravan, obținem (fig. 9)

$$R = r + \delta D \simeq \delta D = 100 \text{ m} \cdot 10^{-3} \text{ radiani} = 0,1 \text{ m}.$$

Pentru laserii cu corp solid ca mediu activ, divergența este mult mai mare, ajungând la valori de ordinul gradelor pentru laserul cu semiconductor.

### 2.3. Coerența

Lumina coerentă este lumina formată din fotoni coerenti, adică fotoni între care există o legătură, o relație.

Fotonii emiși de atomii filamentului incandescent nu sînt coerenti, în sensul că fiecare atom emite în mod



spontan, la un moment oarecare, într-o direcție oarecare cu o frecvență aleatorie și fără legătură cu alt atom.

În cazul luminii laser, fenomenul de emisie stimulată se caracterizează prin producerea de fotoni cu exact aceleași caracteristici ca fotonul stimulator. Astfel, caracterul întâmplător al emisieii luminii de către atomi devine puternic determinist și în acest sens prin lumină laser înțelegem lumină coerentă. Tot în acest sens putem afirma că lumina laser nu există în natură. În cele ce urmează, termenul de lumină laser poate fi confundat cu termenul de lumină coerentă.

Staționaritatea caracteristicilor luminii laser — fenomen oscilatoriu cu frecvența enormă de  $10^{15}$  Hz — este cu totul remarcabilă. Ea se pune în evidență prin fenomenul de interferență, fenomen de compunere a oscilațiilor în general (luminoase, acustice etc.). În general, prin suprapunerea a două fascicule luminoase se obține o iluminare mai puternică. Exemplul aprinderii pe rând a mai multor becuri într-o încăpere este elocvent. Exemplul este valabil pentru surse incoerente. În cazul suprapunerii a două fascicule coerente nu se mai obține o iluminare uniformă, ci o serie de minime și maxime luminoase, numite franje de interferență. Forma și intervalul dintre aceste minime sau maxime de iluminare depinde de unghiul dintre cele două fascicule și de forma lor. Când unghiul este foarte mic și forma apropiată, franjele pot fi văzute cu ochiul liber (fig. 10).

Și fasciculele incoerente se compun, dar caracteristicile lor nefiind staționare, figura de interferență se schimbă extrem de rapid și nu poate fi observată.

Gradul de coerență al unei surse luminoase se caracterizează prin calitatea (contrastul) franjelor de interferență care se obțin într-o experiență de interferență.

Pentru aceasta, Michelson a introdus mărimea numită vizibilitate

$$V = \frac{I_{\max} - I_{\min}}{I_{\max} + I_{\min}},$$

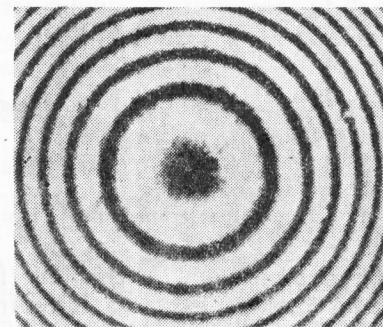


Fig. 10. Inele Newton; franje de interferență obținute din compunerea unei unde laser plane cu o undă sferică.

unde  $I_{\max}$  și  $I_{\min}$  sînt valorile maxime și minime ale intensității din figura de interferență. În figura 10,  $I_{\min} = 0$  și vizibilitatea  $V$  ia valoarea maximă. Pentru o sursă complet incoerentă,  $I_{\max} = I_{\min}$ , adică nu avem franje de interferență și  $V = 0$ . Franjele de interferență se obțin cu ajutorul interferometrelor.

Acestea sînt aparate care realizează divizarea fasciculelor laser în două fascicule pe care le suprapun apoi la unghiuri mici pentru a se putea observa franjele. Desigur două fascicule de la doi laseri diferiți nu pot fi coerente unul față de celălalt și nu pot da figuri de interferență staționare. Iată de ce e nevoie de divizarea fasciculului luminos în două fascicule coerente, unul în raport cu celălalt. Există două tipuri de interferometre: Young și Michelson.

Interferometrul Young pune în evidență corelația existentă la un moment dat între două puncte diferite ale frontului de undă (figura 11).

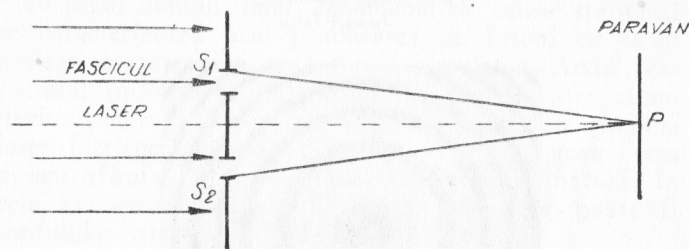


Fig. 11. Schema interferometrului Young.

În cadrul interferometrului Michelson (fig. 12) se pune în evidență corelația existentă între fotonii fasci-

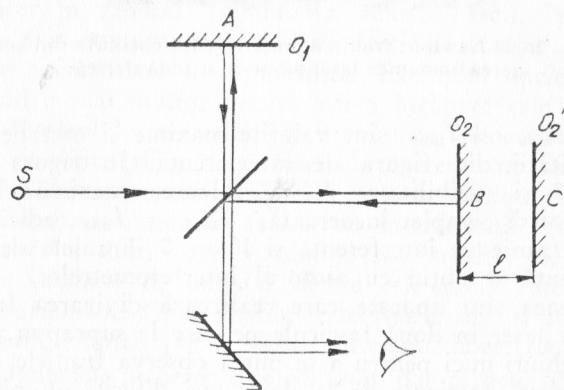


Fig. 12. Interferometrul Michelson.

cului în același punct, dar la momente de timp diferite. Primul caz se referă la coerența spațială, al doilea la coerența temporală.

În experiența lui Young, pe măsură ce cele două fante,  $S_1$  și  $S_2$ , se îndepărtează, vizibilitatea franjelor scade ajungând la zero. Distanța maximă dintre surse, pentru care mai avem franje de interferență în punctul de observație, definește zona de coerență spațială pe secțiunea fasciculului. Această zonă tinde la zero pentru sursele incoerente și acoperă toată secțiunea fasciculului pentru laserul cu heliu-neon.

În experiența Michelson, pe măsură ce oglinda  $O_1$  se depărtează, vizibilitatea  $V$  a franjelor scade de la 1 când  $OA=OB$ , ajungând la zero cu atât mai repede cu cât sursa este mai incoerentă temporal. Michelson a observat că cu cât sursa este mai monocromatică cu atât distanța pe care vizibilitatea scade la zero este mai mare. Astfel, lungimea de coerență temporală, cum este denumită această distanță, este invers proporțională cu lărgimea de bandă  $\Delta\lambda$  pe care emite sursa.

Cazul cel mai fericit de sursă clasică coerentă este o descărcare electrică în kripton izotopic pur ( $Kr^{86}$ ) pentru care lungimea de coerență ajunge la câteva zeci de centimetri, dar pentru o intensitate extrem de scăzută. Laserii cu gaz de tipul celui cu heliu și neon ating însă lungimi de coerență de ordinul zecilor de metri la intensități apreciabile.

Nu întotdeauna avem la îndemână un interferometru pentru a caracteriza proprietatea de coerență a luminii laser.

Există însă un fenomen care ne permite la simpla examinare vizuală să punem în evidență proprietatea de coerență a luminii laser. Este vorba de fenomenul de granularitate. Privind pata laser pe un paravan vom observa un aspect mățos, granular, discontinuu al iluminării laser. Mai mult, schimbând unghiul de vedere,



granulația se deplasează, iar dacă strângem din ochi granulele se măresc.

Proprietatea de granulație nu apare decât după iluminarea unei scene. Ea nu este proprie fasciculului laser. Explicația este legată de coerența luminii laser și de rugozitatea suprafețelor iluminate. Scena iluminată difuzează lumina către ochiul observatorului. Astfel, două raze difuzate de două puncte apropiate ale obiectului iluminat interferă și produc minime și maxime de interferență. Același lucru are loc pentru oricare două raze, ceea ce explică apariția unei structuri aleatorii de franje, aspectul total fiind de granulație. Când strângem din ochi, deci când micșorăm suprafața de recepție a ochiului, numai razele care fac un unghi mic între ele pătrund în ochi, iar franjele se măresc când unghiul dintre fasciculele care interferă se micșorează, deci mărimea granulelor crește.

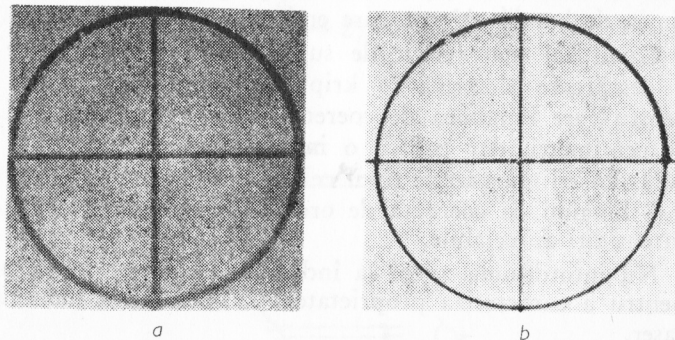


Fig. 13. Fotografia unui obiect: a) în lumină coerentă și b) în lumină incoerentă.

În figura 13 sînt prezentate două fotografii ale aceluiași obiect în lumină incoerentă (bec cu filament incandescent) și în lumina roșie a laserului cu He-Ne cu o diafragmă foarte mică ( $f/22$ ).

## 2.4. Intensitatea

Intensitatea surselor laser este remarcabilă mai ales în măsura în care se asociază celorlalte proprietăți.

Trebuie să facem distincție de la bun început între energia și puterea laserilor. Vom vedea în capitolul următor că există laseri care emit lumină în mod continuu sau numai pulsuri foarte scurte la intervale de timp destul de mari. În cazul laserilor care emit continuu ne vom referi numai la putere, adică la energia luminoasă emisă de acești laseri în unitatea de timp. Astfel, unitățile de măsură vor fi wattul, multiplii și sub-multiplii săi. Astfel, laserul cu heliu-neon are puteri tipice cuprinse între 1 și 100 mW, laserul cu argon ionizat merge de la 1,5 la 10 W, iar laserul cu bioxid de carbon ajunge la 1 kW.

Unitățile de putere sînt desigur valabile și pentru laserii pulsați, folosirea lor este însă greoaie. Într-adevăr, un laser pulsant, care emite o energie de 0,1 jouli (unitate de energie) în numai  $10^{-9}$  secunde ( $1/1\,000\,000\,000$  dintr-o secundă) ar avea puterea de

$$P(\text{puterea}) = \text{Energia}/t(\text{timp}) = 0,1 \text{ jouli}/10^{-9} \text{ secunde};$$

$$P = 10^8 \text{ W} = 100\,000 \text{ kW}.$$

Cifra este enormă și poate induce în eroare. Pentru înțelegerea corectă a acestei valori să ne gândim că într-o secundă de funcționare continuă un laser cu heliu-neon de numai 100 mW emite o energie

$$E = P \cdot t = 0,1 \text{ W} \cdot 1 \text{ s} = 0,1 \text{ jouli},$$

adică tot atîta energie cît laserul de 100 000 kW în intervalul de timp foarte scurt cît durează pulsul laser. Ce putere luminoasă emite însă un bec cu filament incandescent de 100 W?



În primul rând să ne gândim la faptul că 100 W reprezintă consumul electric al becului și nu puterea luminoasă emisă.

Randamentul luminos, adică raportul dintre puterea luminoasă emisă și puterea electrică consumată îl vom considera în mod exagerat de 10%, adică un bec de 100 W emite de fapt numai 10 W putere luminoasă cuprinsă în domeniul spectral vizibil de aproximativ 3600 Å (vezi tabelul 1). Lumina becului este răspândită aproape uniform în toate direcțiile. Să vedem cum se repartizează lumina becului pe o sferă cu raza de 1 m.

Suprafața sferei este  $S = 4\pi r^2 = 4 \cdot 3,14 \cdot 1 \text{ m}^2 = 12,56 \text{ m}^2$ . Distribuind cei 10 W de lumină incoerentă emisă de filamentul incandescent pe această suprafață obținem 0,8 W/m<sup>2</sup>.

Să comparăm această densitate de putere pe m<sup>2</sup> cu densitatea produsă de un laser cu heliu-neon de 1 mW, care emite un fascicul îngust de suprafață 1 mm<sup>2</sup> într-o singură direcție.

Densitatea de putere produsă de acest laser va fi

$$0,001 \text{ W} : 0,000001 \text{ m}^2 = 1000 \text{ W/m}^2,$$

decî laserul este — pînă acum — de 1250 de ori mai puternic decît becul de 100 W. Cifra este valabilă atît timp cît ne referim numai la direcționalitatea laserului. Să luăm în considerare și monocromaticitatea sa. Într-adevăr, domeniile spectrale pe care emit cele două surse sînt mult diferite. Becul emite pe un domeniu spectral de  $\Delta\lambda_{\text{bec}} = 3600 \text{ Å}$ , iar laserul  $\Delta\lambda_{\text{laser}} = 0,01 \text{ Å}$  în cazul unui laser cu heliu-neon tipic.

Presupunînd că becul emite în mod uniform aceeași putere pentru fiecare unitate de domeniu spectral, raportul puterilor între lumina emisă de laserul cu heliu-neon pe  $\Delta\lambda_{\text{laser}} = 0,01 \text{ Å}$  în jurul valorii  $\lambda = 6328 \text{ Å}$  și

puterea emisă de bec în același interval este invers proporțională cu raportul lărgimilor de bandă

$$\frac{\Delta\lambda_{\text{bec}}}{\Delta\lambda_{\text{laser}}} = \frac{3600 \text{ Å}}{0,01 \text{ Å}} = 360\,000.$$

În final, laserul va fi, pe domeniul său spectral și cu direcționalitatea sa, de

$$1250 \cdot 360\,000 = 440\,000\,000 \text{ ori}$$

mai puternic decît becul.

Am trecut în revistă principalele proprietăți ale luminii laser. Fiecare proprietate este remarcabilă în sine și în raport cu celelalte. În mare măsură, coerența, caracterul ordonat al luminii laser, este proprietatea care diferențiază laserul de celelalte surse de lumină. Iată de ce definiția corectă a laserului se reduce la aserțiunea: laserul este o sursă de lumină coerentă.

### 3. TIPURI DE LASERI

Criteriile de clasificare a laserilor pot fi regimul de emisie, tipul de pompaj, mediul activ, puterea, tipurile de aplicații etc. Am ales mediul activ și am împărțit laserii nu în trei categorii, cum ar fi de așteptat, ci în patru, tratând laserii cu semiconductori separat de laserii cu corp solid din cauza unor diferențe de principiu.

În clasificarea noastră, laserii sînt deci de patru feluri: laseri cu mediu activ solid, laseri cu semiconductori, laseri cu mediu activ lichid și laseri cu gaz.

#### 3.1. Laseri cu mediu activ solid

După apariția primului laser — laserul cu rubin — a apărut o serie întreagă de laseri cu corp solid și anume laseri cu ioni de uraniu și de pământuri rare. Printre aceștia, laserul cu neodim a căpătat o dezvoltare deosebită, alături de laserul cu rubin. De regulă atomii sau ionii activi sînt înglobați într-un material gazdă cum ar fi sticla în cazul ionului de neodim, rubinul în cazul ionului de crom sau fluorura de calciu pentru ionii de uraniu. Efectul laser are loc prin tranziții între nivelele ionului cu care s-a dopat materialul gazdă. Materia-

lele gazdă trebuie să fie foarte omogene, transparente la radiația laser și să nu absoarbă din energia de pompaj.

Laserul cu rubin se distinge substanțial de laserii cu ioni de pământuri rare, dintre care tipic este laserul cu neodim, prin numărul de nivele energetice implicate în procesul de obținere a radiației coerente. Laserul cu rubin funcționează pe baza tranzițiilor între trei nivele, iar laserul cu neodim implică patru nivele de emisie ale ionului respectiv.

Diagrama nivelelor de energie ale laserului cu rubin, (figura 14) implică trei nivele energetice ale ionului de crom. Materialul activ, sub forma unei bare, este supus acțiunii unei lămpi fulger foarte intense, care produce tranzițiile ionilor de crom de pe nivelul fundamental 1 pe nivelul 3 excitat. Între nivelul 3 și nivelul 2 are loc un foarte rapid transfer de energie neradiativ. Dacă pompajul fonic cu lampa fulger este suficient de rapid, un număr foarte mare de ioni de crom vor fi excitați pe nivelul 2, astfel încît nivelul 2 va fi mai popu-

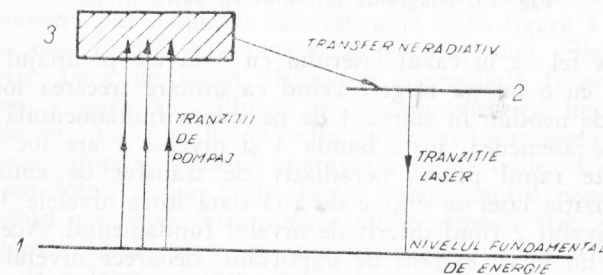


Fig. 14. Schema nivelelor energetice ale laserului cu rubin.

lat decât nivelul 1. Se obține astfel inversia de populație necesară declanșării efectului laser. Prin reflexiile multiple între oglinzile cavității rezonante se menține o densitate mare de fotoni coerenți, care depășește cu

mult densitatea fotonilor emiși spontan. Laserul va emite deci un fascicul de fotoni coerenți de frecvență  $\nu_{21}$ .

Diagrama laserului cu patru nivele este dată în figura 15.

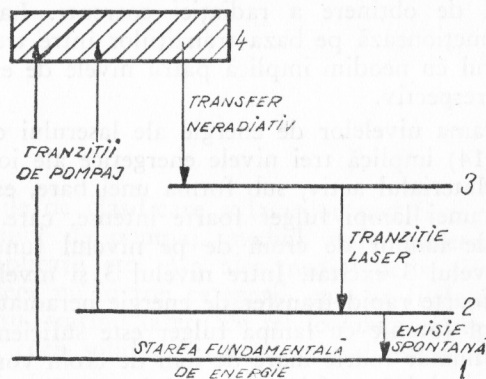


Fig. 15. Diagrama laserului cu patru nivele.

La fel ca în cazul laserului cu 3 nivele pompajul se face cu o lampă fulger, avînd ca urmare trecerea ionilor de neodim în starea 4 de pe starea fundamentală 1.

De asemenea, între banda 4 și nivelul 3 are loc un foarte rapid proces neradiativ de transfer de emisie. Tranziția laser se obține de astă dată între nivelele 3 și 2, nivelul 2 fiind diferit de nivelul fundamental. Acesta este un lucru extrem de important, deoarece nivelul 2, comparativ cu nivelul fundamental va fi întotdeauna mai puțin populat. Rezultă deci că inversia de populație între nivelele 3 și 2 va fi cu mult mai pronunțată decît între nivelul pompat și nivelul fundamental (în cazul laserului cu rubin între 2 și 1), deci de aici posibilitatea laserilor cu patru nivele de a emite energii mult mai mari decît laserii cu trei nivele.

Elementele constructive sînt comune laserilor cu rubin și neodim.

Pompajul se face cu o lampă fulger. Energia electrică de aprindere a lămpii este înmagazinată într-o baterie de condensatoare alimentată de o sursă de tensiune continuă în domeniul 2000—5000 V. Lampa fulger este umplută cu xenon și nu se poate aprinde pînă cînd nu primește un puls electric de 15 000—20 000 V de la o bobină de inducție. Pulsul electric adițional de mică energie declanșează descărcarea luminoasă fulger de o foarte mare intensitate. Efectul laser se obține în cavitatea rezonantă formată de două oglinzi față în față, care cuprind între ele bara de rubin, fasciculul ieșind prin oglinda parțial transparentă.

Pentru a obține maximum de transfer de energie între lampa fulger și bara de mediu activ, deci pentru ca o parte cît mai mare din lumina emisă de lampa fulger să ajungă la mediul activ, ansamblul bară-lampă se introduce într-un recipient cu pereți puternic reflectatori. Mai mult decît atît, în unele cazuri lampa fulger înconjoară pur și simplu bara de rubin ca în figura 3 sau dacă este liniară este plasată în focarul unui cilindru eliptic, bara de rubin aflîndu-se în celălalt focar al elipsei (figura 16). Elipsa are proprietatea că lumina emisă de o sursă de lumină aflată într-un focar este concentrată după o reflexie marginală în al doilea focar. Se pot folosi și mai multe lămpi fulger pentru pompaj folosind o incintă reflectatoare dublu eliptică (fig. 17). În figura 18 se poate vedea o mică bară de rubin alături de o lampă fulger, iar în figura 19 lampa fulger și bara de rubin sînt montate într-o incintă eliptică.

Laserul pompat astfel trebuie neapărat răcit, deoarece lampa fulger produce multă căldură. În plus, efectul laser însuși produce încălzirea mediului activ, acesta absorbînd un procent mic din emisia laserului. Dacă energia laserului depășește o anumită limită de



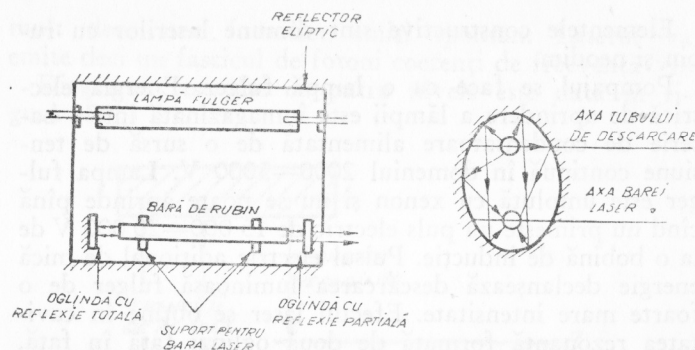


Fig. 16. Incinta unui laser pompat fonic. Incinta este un cilindru eliptic în focarele căruia se află lampa fulger și bara de rubin. Se observă că razele de lumină emise de lampa fulger ajung, după reflexie pe cilindru, pe bara de rubin.

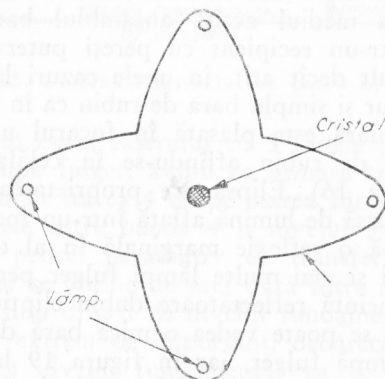


Fig. 17. Incintă reflectătoare multiplu eliptică.

prag, sau dacă coeficientul de absorbție al mediului activ este prea mare se poate produce distrugerea barei. Iată de ce se impune funcționarea în impulsuri a acestor

tor laseri. Din acest punct de vedere laserul cu sticlă dopată cu neodim este superior laserului cu rubin, pragul de distrugere al sticlei fiind mai ridicat decât

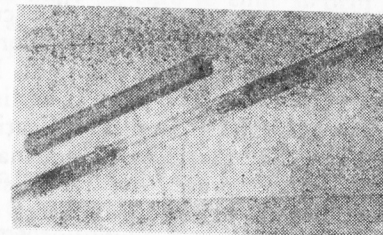


Fig. 18. Bară de rubin și lampă fulger.

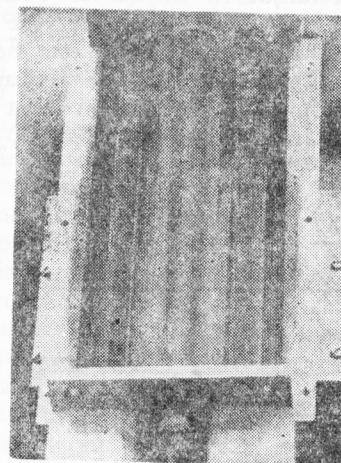


Fig. 19. Fotografia incintei dublu eliptice a unui laser cu rubin. În centru bara de rubin este înconjurată de un tub de sticlă prin care circulă lichidul de răcire; lateral se văd două lămpi fulger.

al cristalului de rubin. Alt material gazdă pentru ionul activ de neodim (granatul de itriu și aluminiu — YAG),

este atât de rezistent încât permite funcționarea continuă a laserului cu neodim la lungimea de undă de  $1,06 \mu$ , emițind o putere de 1 kW.

Valorile energetice curenți ale laserilor cu rubin sînt de ordinul zecilor de jouli iar ale laserilor cu neodim de ordinul sutelor și chiar miilor de jouli. Pulsul luminos al lămpii fulger durează cam o milisecundă, iar pulsul laser cam tot atât. În multe aplicații cum ar fi găurire, sudare sau holografie și în cinematografia rapidă este nevoie de micșorarea duratei pulsului, ceea ce implică mărirea puterii laserului. În acest scop, laserul nu trebuie lăsat să oscileze pînă cînd nu s-a atins prin pompaj maximum de inversie de populație. Laserul trebuie deci declanșat în momentul optim. Pentru a împiedica laserul să oscileze se intervine în cavitatea rezonantă. Metoda cea mai simplă este de a îndepărta o oglindă (fig. 20) a cavității și de a o aduce în poziția corectă la momentul oportun. În acest scop, ea este rotită cu mare viteză de un motoras (20 000—24 000 ture/minut).

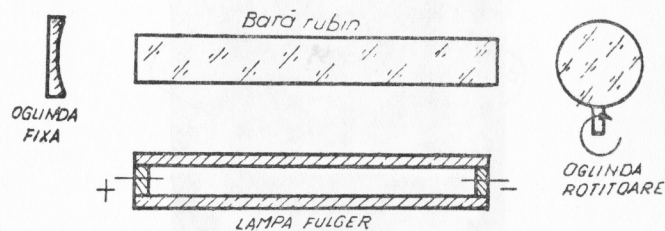


Fig. 20. Laser declanșat cu oglindă rotitoare.

O altă metodă este de a introduce în cavitate o substanță absorbantă, care, la un anumit nivel de energie absorbită, devine transparentă. O astfel de substanță este criptocianina.

Se obțin astfel pulsuri de numai cîteva nanosecunde ( $1 \text{ nanosecundă} = 1 \text{ ns} = 1/1\,000\,000\,000$  dintr-o secundă). Laserii cu corp solid sînt remarcabili deci prin puterile foarte mari pe care le emit și prin durata extrem de redusă a pulsurilor, direcționalitatea și coerența lor fiind însă relativ scăzute față de ceilalți laseri.

### 3.2. Laseri cu mediu activ semiconductor

Diferența esențială dintre laserii cu mediu activ semiconductor și toate celelalte tipuri de laseri constă în eficiența mecanismului de pompaj. Pentru a obține lumină laser se consumă, de regulă, energie electrică. În laserii pompați optic, energia electrică se consumă în descărcarea lămpii fulger, lumina lămpii excită atomii mediului activ și aceștia emit lumină laser. Aceste transformări și transferuri de energie se fac cu pierderi, randamentul final al laserilor cu mediu activ solid fiind mult sub 1% și ajungînd la 1 — 2% pentru laserul cu neodim înglobat în YAG. În laserii cu mediu activ lichid sau gazos au loc de asemenea procese complicate prin care energia electrică este transformată în energie luminoasă coerentă.

În materiale semiconductoare există posibilitatea de a converti în mod direct energia electrică în lumină coerentă. Într-un semiconductor există două tipuri de purtători de sarcină electrică, capabili să se deplaseze pentru a da naștere unui cîmp electric: electronii liberi, ale căror energii se situează în banda de conducție și „găurile” a căror energie se situează în banda de valență. Teoria semiconductoarelor arată că benzile de energie — de conducție și de valență, sînt constituite dintr-o mulțime de nivele discrete foarte apropiate unele de altele. Aceste stări nu pot fi ocupate decît de cel mult doi electroni. Ansamblul electronilor unui semiconductor trebuie să se repartizeze între aceste stări și se arată



că ele se vor ocupa cu electroni pînă la un nivel energetic limită numit nivel Fermi. Frontiera dintre stările ocupate și cele goale nu e bine delimitată decît la temperatura de zero grade K (zero absolut). La alte temperaturi agitația termică face ca o parte din electroni să treacă pe nivele mai înalte și deci un număr egal de „găuri” să apară pe nivelele inferioare. În medie se menține un echilibru și nu poate să apară o inversie de populație. Dacă semiconductorul este dopat cu atomi care posedă un electron de valență în plus sau în minus față de materialul semiconductor gazdă, excesul sau lipsa de electroni se traduce prin deplasarea nivelului Fermi. Într-un semiconductor cu exces de electroni (de tipul  $n$ ) toată banda de valență și chiar o parte din cea de conducție sînt ocupate, iar la semiconductorul de tip  $p$ , deci cu deficit de electroni, partea de sus a benzii de valență și toată banda de conducție sînt goale.

Puși în contact doi astfel de semiconductori dopați, se obține o joncțiune echilibrată, în sensul că nivelul Fermi este același pentru cele două materiale (fig. 21).

Dacă se impune trecerea unui curent prin joncțiune, echilibrul se strică. Nivelele de energie ale celor două materiale apar decalate cu energia  $\Delta E = eV$  unde  $V$  este diferența de potențial aplicată, iar  $e$  sarcina electronului. Se constată (fig. 22) că în vecinătatea joncțiunii electronii din banda de conducție a unui semiconductor se dispun în dreptul locului gol din banda de valență a celuilalt. Apare astfel, local, o inversie de populație. Electronii din semiconductorul  $n$  tind să cadă în  $p$ , provocînd dispariția corespunzătoare a găurilor. Fiecare tranziție de acest fel provoacă emisia unui foton (electroluminescență). Astfel,

$$1 \text{ electron} + 1 \text{ gaură} \Rightarrow 1 \text{ foton}$$

și deci trecerea de la energia electrică la cea luminoasă se face direct obținîndu-se ușor randamente de 100%.

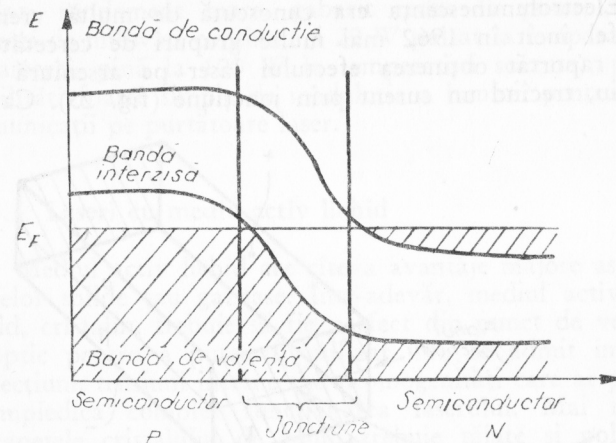


Fig. 21. Benzi de conducție și de valență într-o joncțiune;  $E_F$  = nivel Fermi.

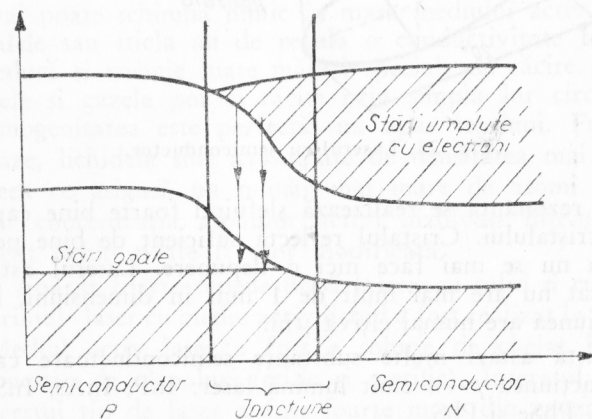


Fig. 22. Apariția inversiei de populație la trecerea unui curent electric prin joncțiune.

Electroluminescența era cunoscută de multă vreme, astfel încât în 1962 mai multe grupuri de cercetători au raportat obținerea efectului laser pe arseniură de galiu, trecând un curent prin joncțiune (fig. 23). Cavi-

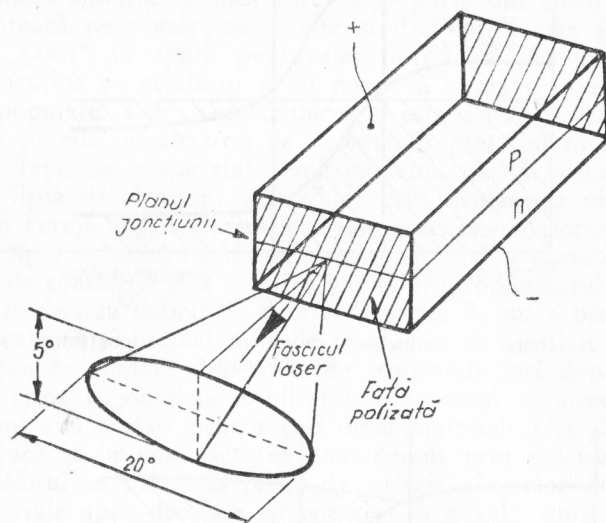


Fig. 23. Laserul cu semiconductor.

tatea rezonantă se realizează șlefuiind foarte bine capetele cristalului. Cristalul reflectă suficient de bine pentru a nu se mai face nici o depunere. Laserul astfel realizat nu are mai mult de 1 mm în dimensiuni, iar joncțiunea are numai câțiva  $\mu\text{m}$ .

Există astăzi multe substanțe semiconductoare care în joncțiunea  $p-n$  emit lumină laser: InP, InAs, InSb, PbTe, PbSe și PbS.

Divergența acestor laseri este foarte mare, iar coerența lor redusă. Avantajele majore ale acestui tip de laseri

sînt: randament mare, gabarit redus la puteri mari (zeci de miliwați continuu și 20 W pulsant la temperatura camerei, pînă la 100 W la temperaturi scăzute), posibilități foarte simple de modulație a luminii pentru comunicații pe purtătoare laser.

### 3.3. Laseri cu mediu activ lichid

Mediul activ lichid are câteva avantaje majore asupra celor solide sau gazoase. Într-adevăr, mediul activ solid, cristalin, trebuie să fie perfect din punct de vedere optic pentru a putea fi utilizat. Nu se admit imperfecțiuni, tensiuni interne sau neomogenități care ar putea împiedica complet funcționarea laserului. Mai mult, capetele cristalului de rubin trebuie tăiate și polizate cu mare precizie și după anumite direcții. Astfel, prepararea unui mediu activ solid laser este o problemă dificilă, de durată și costisitoare. Odată realizat nu se mai poate schimba nimic în masa mediului activ. Cristalele sau sticla au de regulă o conductivitate termică redusă și trebuie luate măsuri speciale de răcire. Lichidele și gazele pot fi răcite prin simpla lor circulație, omogenitatea este perfectă, nu apar tensiuni. Față de gaze, lichidele sînt avantajate de densitatea mai mare, ceea ce asigură un număr mai mare de atomi activi, iar concentrația atomilor activi dizolvați într-un solvent lichid poate fi ușor modificată.

Apărut foarte repede după laserii cu solid și cu gaze, primul laser cu mediu activ lichid a fost realizat în 1963. Mediul activ laser a fost o soluție de chelat într-un amestec de alcooluri (etilic și metilic). Interesul arătat acestui tip de laser a fost foarte mare din cauza posibilității de a circula lichidul și deci de a păstra un bun regim termic, ceea ce permite utilizarea lui intensă.



Chelații sînt constituiți dintr-un ion metalic situat în centrul unui edificiu molecular foarte complex.

Dacă ionul aparține categoriei de elemente numită „pămînturi rare”, se constată că lumina emisă spontan

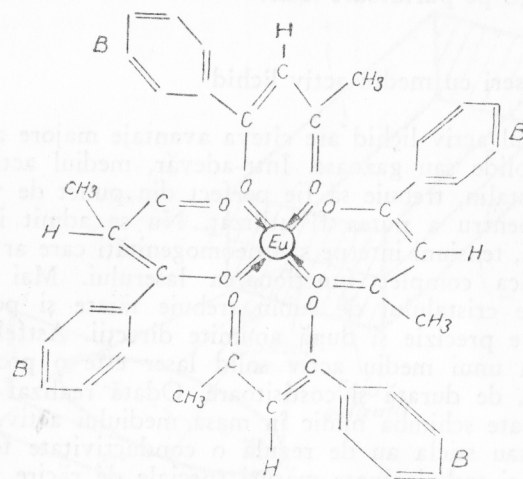


Fig. 24. Reprezentarea plană a unei molecule de chelat.

de ionul încorporat de chelat nu este influențată de restul moleculei și deci nivelele energetice implicate în procesul de emisie sînt înguste ca și cum ar aparține ionului liber. Pe de altă parte, chelații posedă capacitatea de a absorbi multă lumină în domeniul ultraviolet, absorbție proprie întregii molecule. Energia luminoasă captată de întreaga moleculă poate fi transferată ionului și astfel avem un mecanism de pompaj comod. Chelații sînt astfel un mediu laser ideal: au o bandă de absorbție foarte largă și deci pot fi ușor pompați optic, iar lumina emisă are o bandă îngustă, nivelele energetice implicate fiind ionice și nu moleculare.

Laserii cu mediu activ lichid cei mai cunoscuți astăzi sînt laserii cu coloranți organici dizolvați într-un solvent oarecare. Astfel coloranții tipici sînt rodamina dizolvată în alcool și fluoresceina dizolvată în apă. Aceste substanțe absorb puternic lumina vizibilă. Excitarea lor se face, din acest motiv, prin pompaj optic fie cu un alt laser, fie cu o lampă fulger. Laserii cu coloranți emit pulsuri scurte de lumină cu o lărgime de bandă mare. Distribuția spectrală a semnalului laser emis depinde de solventul utilizat, de concentrația de colorant și de alți parametri. Din cauza acestei dependențe laserii cu coloranți pot acoperi o mare parte a spectrului vizibil. Astfel laserul „acordabil” cu rodamină poate emite între 5000 și 6000 Å. Cum există un număr mare de coloranți capabili de efect laser, se poate obține lumină coerentă de orice lungime de undă între 3 300 și 11 760 Å. Aceste calități recomandă laserii cu coloranți ca sursă de lumină acordabilă în fotobiologie, fotochimie și spectroscopie.

Randamentul laserilor cu colorant este foarte mare putînd atinge 25%. Astfel, un laser cu colorant pompat fonic de un laser cu rubin de 25 MW a emis un semnal de 6 MW.

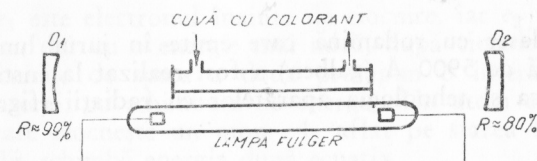


Fig. 25. Elementele unui laser cu colorant.

Un laser cu colorant (fig. 25) cuprinde o celulă de sticlă sau cuarț cu ferestre din același material prelucrate optic. Celula cu colorant este cuplată la un mic

rezervor cu colorant și o pompă care circulă permanent colorantul. Cuvă este așezată între oglinzile cavității rezonante și paralelă cu lampa fulger.

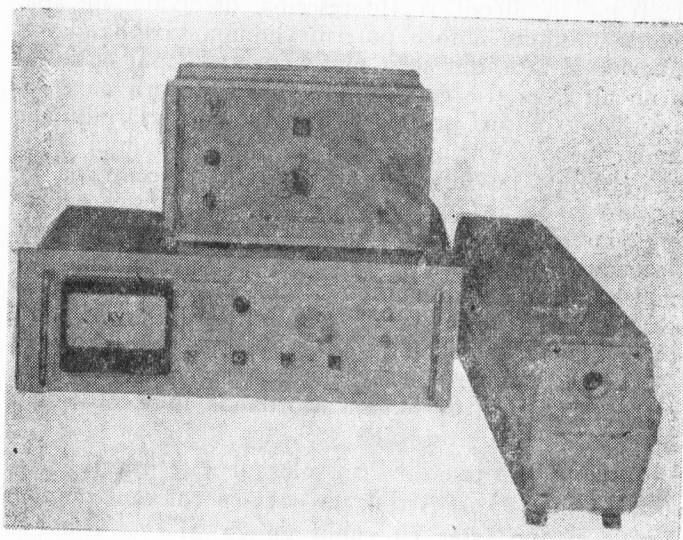


Fig. 26. Laser cu colorant realizat în Institutul de fizică și tehnologia aparatelor cu radiații.

Un laser cu rodamină care emite în jurul lungimii de undă de 5900 Å (galben) a fost realizat la Institutul de fizică și tehnologia aparatelor cu radiații (fig. 26).

### 3.4. Laseri cu mediu activ gazos

Există foarte multe tipuri de laseri care au ca mediu activ gaze sau amestecuri de gaze. Aceste gaze pot fi atomice (heliu, neon, argon, kripton etc.) sau moleculare (bioxid de carbon).

Nivelele de energie între care au loc tranzițiile radiative stimulate pot fi nivele ale atomilor, ale atomilor ionizați (ioni) sau nivele moleculare. Ajungem astfel să clasificăm laserii cu gaz în trei mari clase, după natura nivelelor de energie care participă la obținerea luminii coerente:

a) laseri care folosesc tranziții între nivele atomice de energie cum sînt laserul cu heliu și neon, sau laserul cu heliu și vapori de cadmiu;

b) laseri care folosesc tranzițiile dintre nivelele energetice ale ionilor unor atomi, cum sînt laserii cu argon sau kripton;

c) laserii moleculari, în care caz au loc tranziții între nivelele energetice de vibrație- rotație ale moleculelor, ca la laserul cu bioxid de carbon ( $\text{CO}_2$ ).

Procesul de pompaaj este ceva mai complicat în cazul gazelor. Excitarea atomilor unui gaz se face, de regulă, prin ciocniri de speța întâi sau a doua.

În ciocnirile de speța întâi un electron interacționează cu un atom cedîndu-i energia. Astfel, atomul  $A$ , aflat în starea energetică fundamentală (starea de energie minimă), trece în starea de energie superioară  $A^*$  după ecuația

$$A + e_1 = A^* + e_2,$$

unde  $e_1$  este electronul înainte de ciocnire, iar  $e_2$  același electron, dar cu o energie mai mică, după ciocnire.

Ciocnirile de speța a doua presupun o interacțiune între atomi, cu schimbare de energie. Un atom excitat,  $A_2^*$ , care ciocnește un atom  $A_1$  aflat pe starea fundamentală, schimbă energia după ecuația

$$A_1 + A_2^* = A_1^* + A_2,$$

unde semnul  $*$  indică un atom excitat. Atomii de tipul  $A_2^*$  sînt de regulă atomi aflați în așa-numitele stări metastabile. Probabilitatea unui astfel de atom de a se dezexcita singur prin emisie spontană este foarte mică.



Diagram illustrating the energy levels and transitions for the Helium-Neon laser system.

**HELIU (Helium):**

- Ground state:  $1s$  (labeled  $M$ )
- Excited states:  $2s$  and  $2p$

**NEON (Neon):**

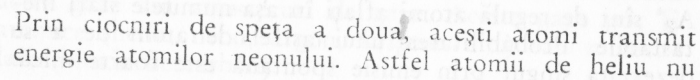
- Ground state:  $1s$  (labeled  $M$ )
- Excited states:  $2s$ ,  $2p$ ,  $3s$ , and  $3p$

**Transitions:**

- Transitions from Helium  $2s$  and  $2p$  to Neon  $3s$  and  $2s$  are labeled "cicniri de speta a l i a".
- Laser transitions from Neon  $3s$  to  $3p$  and  $3s$  to  $2p$  are labeled "Laser  $3.39 \mu$ " and "Laser  $6328 \text{ \AA}$ " respectively.
- Transitions from Neon  $2s$  to  $2p$  and from Neon  $2p$  to  $1s$  (labeled  $M$ ) are also shown.

**STAREA DE ENERGIE FUNDAMENTALA**

nului este dată în figura 27. În cazul neonului am reprezentat prin dreptunghiuri un număr mare de nivele energetice foarte apropiate. Prin ciocniri de speța întâi, datorate descărcării electrice prin amestecul cu heliu și neon, atomii de heliu trec de pe nivelul fundamental pe nivelele metastabile notate cu  $M$ . Ecuația procesului este deci



mai multe lungimi de undă, dar cea mai cunoscută și mai des utilizată este lumina roșie de lungime de undă  $\lambda = 6328 \text{ \AA}$ .

Un laser cu heliu și neon (fig. 28) este format dintr-un tub de sticlă umplut cu heliu la presiunea de 2 mm coloană de mercur și neon la presiunea de 0,1 mm coloană de mercur. Tubul este închis cu două ferestre de calitate optică foarte bună din sticlă sau cuarț optic. Ele fac un unghi  $\theta_B$  numit unghiul Brewster, cu axa tubului (fig. 29), astfel încât

[illegible]

49

unde  $n$  este indicele de refracție al ferestrei. Așezarea ferestrelor sub acest unghi reduce la minimum pierderile prin reflexie pe ferestre și determină polarizarea liniară a fasciculului laser emergent.

Tubul laser este prevăzut cu doi electrozi între care se aplică o tensiune electrică de 2000—4000 V, determinând astfel apariția unui curent electric de 6 — 12 mA. Tensiunea este furnizată de o sursă electrică de alimentare.

Oglinzile cavității rezonante sînt formate dintr-un suport de sticlă sau cuarț optic, pe care sînt depuse straturi reflectante. Tehnica depunerilor straturilor reflectante multiple este singura capabilă să producă reflexii foarte mari, de ordinul 99,9%. Una dintre oglinzi are o reflexie cît mai mare cu puțință (cître 100%) iar cealaltă o reflexie de numai 97 — 98%. Această oglindă se numește oglindă de ieșire pentru că asigură ieșirea luminii laser din cavitatea rezonantă.

Puterea laserului cu He-Ne, laser care emite continuu, este cuprinsă între 1 și 100 mW; este deci un laser de putere mică. Densitatea scăzută a amestecului de gaze nu poate asigura o amplificare mare. Aceasta atrage după sine folosirea unor coeficienți de reflexie foarte mari la oglinzile cavității rezonante, mărindu-se astfel numărul de parcurșuri ale fotonilor prin mediul amplificator. În mod logic rezultă o mare selectivitate în direcționalitate și în lărgimea de bandă a acestor laseri.

Într-adevăr, laserul cu heliu și neon produce lumina coerentă cu cele mai înalte calități și monocromaticitate, direcționalitate și coerentă.

Laserii ionici. Vom analiza un singur model tipic, laserul cu argon ionizat. Un atom o dată ionizat este un atom care și-a pierdut un electron, un atom dublu ionizat a pierdut doi electroni și așa mai departe. Prin pierderea

unui electron, atomul neutru se încarcă electric pozitiv. Un atom o dată ionizat se notează  $A^+$ , de două ori ionizat  $A^{++}$  etc. Pentru a strica edificiul atomic al unui atom este nevoie de mult mai multă energie decît pentru a-l excita. Într-adevăr, laserul cu argon ionizat consumă mult mai multă energie decît laserul cu heliu și neon.

Această energie este consumată o dată pentru ionizarea atomului de argon și apoi pentru excitarea ionului  $Ar^+$ .

Ambele procese se fac prin ciocniri de speța întâi după relația

$$e_1 + Ar = (Ar^+)^* + e_2 + e_3,$$

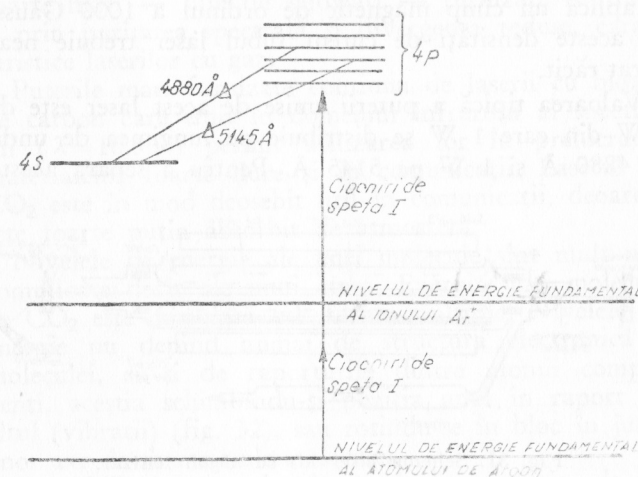


Fig. 30. Nivelele energetice ale argonului ionizat.

unde  $e_1$  este electronul care ciocnește atomul de  $Ar$ , îi cedează o parte din energie și rămîne  $e_2$ , iar  $e_3$  este electronul smuls atomului de  $Ar$  în urma impactului.



Schema nivelelor energetice ale ionului de argon este reprezentată în figura 30. Laserul cu argon emite un mare număr de linii laser dintre care liniile 4880 Å și 5145 Å sînt cele mai intense.

Construcția unui laser cu argon ridică probleme deosebit de grele. Energia electrică foarte mare necesară ionizării argonului implică utilizarea unor curenți electrici mari (40—50 A) pentru tuburi din cuarț sau oxid de beriliu capabile să reziste la temperaturi mari. Presiunea gazului din aceste tuburi este de 0,7 mm coloană de mercur. Pentru a mări densitatea în electroni a descărcării și a mări astfel posibilitatea de ciocnire a acestora cu atomii argonului, în jurul tubului laser se aplică un câmp magnetic de ordinul a 1000 Gauss. La aceste densități de curent tubul laser trebuie neapărat răcit.

Valoarea tipică a puterii emise de acest laser este de 3 W din care 1 W se distribuie pe lungimea de undă de 4880 Å și 1 W pe 5145 Å. Pentru a separa aceste

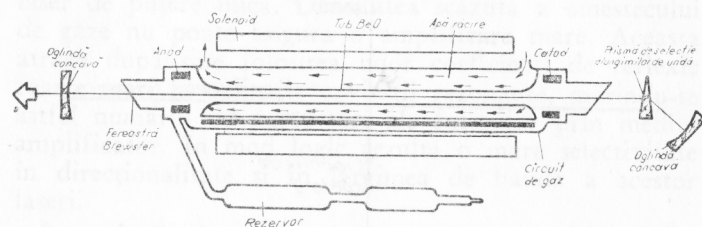


Fig. 31. Schema laserului cu argon ionizat.

linii laser se încorporează în cavitatea rezonantă și o mică prismă (figura 31).

Laserul cu argon ionizat, prin puterea relativ mare pe care o furnizează în mod continuu în domeniul vizi-

bil al spectrului electromagnetic, se face util în spectroscopia Raman, în holografie și în interferometrie holografică.

**Laseri moleculari.** Multă vreme s-a considerat că laserii cu mediu activ solid sînt cei mai puternici. Argumentul principal a fost densitatea mare a atomilor activi într-un corp solid. Dezavantajele laserilor cu mediu activ solid le-am văzut: cost ridicat, emit pulsuri foarte scurte, randament foarte scăzut, lărgimea de bandă este mare, divergența de asemenea.

O nouă clasă de laseri, laserii moleculari și mai ales laserii cu bioxid de carbon s-au impus prin puterile foarte mari — sute de kilowați — furnizate continuu și prin puritatea spectrală și divergența reduse, caracteristice laserilor cu gaz.

Puterile mari furnizate continuu de laserii cu bioxid de carbon care emit în domeniul infraroșu al spectrului ( $\lambda=10,5 \mu$ ) permit utilizarea lor în prelucrarea materialelor foarte dure și în comunicații. Laserul cu  $\text{CO}_2$  este în mod deosebit util în comunicații, deoarece este foarte puțin absorbit de atmosferă.

Nivelele de energie ale unei molecule sînt mult mai complicate decît ale unui atom. Energia unei molecule de  $\text{CO}_2$  este cumulată sub forme multiple. Nivelele de energie nu depind numai de structura electronică a moleculei, ci și de raporturile dintre atomii componenți, aceștia schimbîndu-și poziția unul în raport cu altul (vibrații) (fig. 32), sau rotindu-se în bloc în jurul unor axe de simetrie ale moleculei.

Tranzițiile laser au loc între nivele energetice de vibrație ale moleculei de  $\text{CO}_2$  (fig. 33).

Bioxidul de carbon este amestecat cu azot și heliu. Azotul joacă în laserul cu  $\text{CO}_2$  un rol similar cu He în laserul cu heliu neon. Prin ciocniri de speța întâia azotul este excitat pe un nivel energetic superior

(fig. 33). Printr-o ciocnire de speța a doua atomul excitat de azot cedează energia proprie unei molecule de  $\text{CO}_2$ . Molecula de  $\text{CO}_2$  rămâne excitată pe un nivel

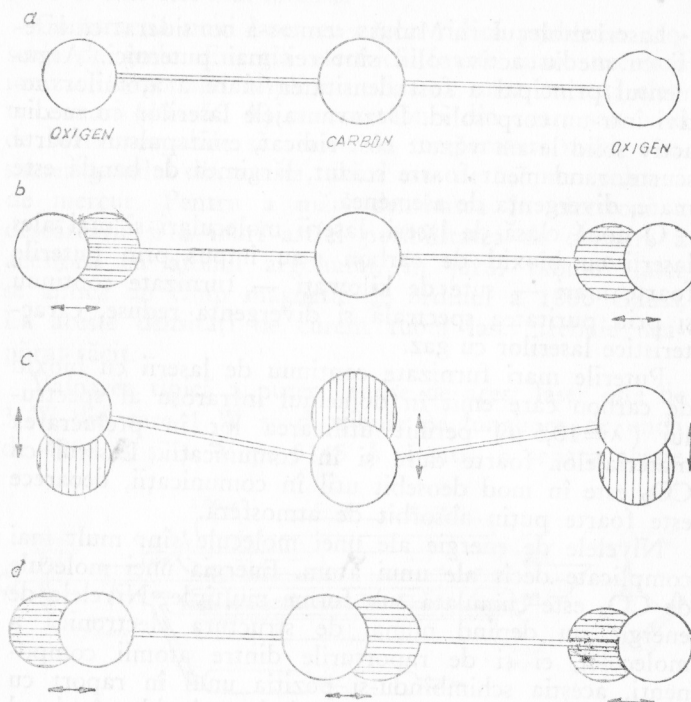


Fig. 32. Moduri de vibrație ale moleculei de  $\text{CO}_2$ .

energetic de vibrație, adică energia de vibrație a moleculei este modificată prin această ciocnire. Ciocnirea de speța a doua are deci o ecuație de genul următor

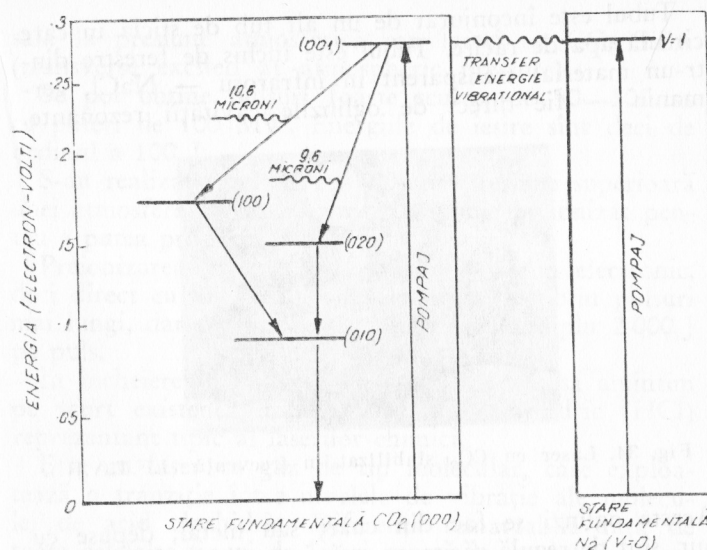
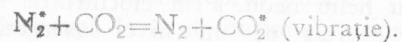


Fig. 33. Diagrama nivelelor de energie de vibrație ale moleculei de  $\text{CO}_2$ .

Transferul de energie are loc din cauza apropierei nivelelor de energie ale azotului de nivele superioare de energie de vibrație ale moleculei de  $\text{CO}_2$  (fig. 33). Azotul joacă deci un rol în mecanismul de pompaj, iar heliul are și el un rol auxiliar destul de important. El mărește conductivitatea termică a amestecului gazos către pereți, permițând deci o răcire mai eficientă și în plus joacă un rol în mărirea inversiei de populație între nivelele laser, prin „golirea” nivelului laser inferior.

Linia laser principală se produce în infraroșu, la lungimea de undă de  $10,6 \mu\text{m}$ . Amestecul gazos este introdus într-un tub de sticlă sau cuarț, prevăzut cu electrozi între care se produce descărcarea electrică.



Tubul este înconjurat de un alt tub de sticlă în care circulă apa de răcire. Tubul este închis de ferestre dintr-un material transparent în infraroșu — NaCl, germaniu — fie direct de oglinzile cavității rezonante.

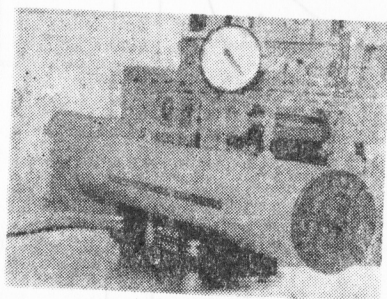


Fig. 34. Laser cu CO<sub>2</sub> stabilizat în frecvență (I.F.T.A.R.).

Aceste oglinzi se fac din cuarț sau metal, depuse cu aur, sînt de regulă răcite cu apă, iar oglinda de extracție are o mică gaură centrală din care iese fasciculul laser. Oglinzile pot fi realizate și din germaniu transparent la 10,6 μm, pe care se depun straturi dielectrice multiple. În figura 34 este prezentat un laser cu CO<sub>2</sub>.

Laserii cu CO<sub>2</sub> pot produce și pulsuri scurte de mare putere fie prin pulsarea descărcării electrice, fie prin declanșarea laserului cu o oglindă rotitoare.

Puterea laserilor cu CO<sub>2</sub> în impulsuri poate fi mult crescută prin creșterea presiunii gazelor. Pentru laserii cu CO<sub>2</sub> în regim continuu, presiunea totală a amestecului de gaze este de 40—80 milimetri coloană de mercur, raportul presiunilor CO<sub>2</sub> : N<sub>2</sub> : He fiind 1 : 1 : 6. Crescînd presiunea totală pînă la o atmosferă, descărcarea electrică nu se mai face în lungul tubului ci transversal pe electrozii de o formă specială. De aici numele acestor laseri: laseri cu descărcare electrică transver-

sală la presiune atmosferică sau laseri cu CO<sub>2</sub> TEA (transverse excited at atmospheric pressure).

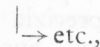
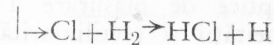
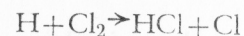
Se pot obține pulsuri foarte scurte, de 50—100 ns cu puteri de 100 MW. Energiile de ieșire sînt deci de ordinul a 100 J.

S-au realizat și laseri cu CO<sub>2</sub> de presiune superioară unei atmosfere în care caz gazul trebuie preionizat pentru a putea produce descărcarea electrică.

Preionizarea se face cu ajutorul unui tun electronic, deci direct cu un fascicul de electroni. Se obțin pulsuri mai lungi, dar de energii mai mari, de exemplu 2 000 J pe puls.

În încheierea capitolului de laseri cu gaz să amintim pe scurt existența laserului cu acid clorhidric (HCl) reprezentant tipic al laserilor chimici.

Este un laser cu gaz de tip molecular, care exploatează o tranziție între nivelele de vibrație ale moleculei de acid clorhidric. Diferența remarcabilă față de toate celelalte tipuri de laseri constă în modul de pom-paj al laserului cu HCl. Încă din 1958 s-a observat că reacția clorului molecular cu hidrogenul disociat în atomi, reacție în urma căreia rezultă acidul clorhidric, este însoțită de emisia unei radiații electromagnetice. Radiația apare deoarece o parte din energia chimică a reacției în lanț



inițiată de atomii de hidrogen, era convertită în energie de vibrație. Exploatînd această proprietate s-a realizat primul laser chimic capabil să emită la lungimea de undă de 37 730 Å.

Alte reacții chimice au fost exploatate în același sens, obținîndu-se o gamă destul de bogată de laseri chimici.

#### 4. APLICAȚIILE LASERILOR ÎN ȘTIINȚĂ ȘI TEHNICĂ

Au trecut aproape două decenii de la prima licărire de lumină coerentă și interesul cercetătorilor față de laseri este neschimbat. Explicația acestui interes major constă în multitudinea de aplicații ale luminii laser în cele mai diverse și mai de nebanuit domenii ale activității umane: știință, tehnică, medicină, viață socială. Vom trece în revistă foarte pe scurt câteva dintre aplicațiile cele mai cunoscute și mai bine puse la punct, aplicații care au depășit stadiul de experiențe de laborator. Laserul se dovedește astfel un instrument minunat în lupta omului pentru progres.

##### 4.1. Aplicații în metrologie

Metodele optice de măsurare a dimensiunilor, unghiurilor, planeității și rectiliniarității sînt recunoscute pentru precizia lor deosebită. Rareori însă au părăsit laboratorul. Sursele de lumină convenționale erau cele care limitau extinderea acestor metode în condițiile de lucru industriale.

Laserul cu heliu și neon este cel mai mult utilizat în metrologie pentru coerența sa foarte mare, pentru intensitatea și prețul de cost scăzut, robustețea și simplitatea sa.

Măsurători de lungimi. Pentru măsurarea lungimilor se folosește fenomenul de interferență (vezi secțiunea 2.3). Referindu-ne la figura 12, remarcăm că la deplasarea uneia dintre oglinzile interferometrului în lungul axei sale optice se deplasează și franjele de interferență în planul de observație.

Trecerea de la un minim luminos la un alt minim luminos succesiv în planul franjelor înseamnă că oglinda s-a deplasat cu o jumătate de lungime de undă ( $\lambda = 0,6328 \mu\text{m}$ ). Astfel se pot pune în evidență și măsura deplasări cu precizia de  $0,3 \mu\text{m}$ . Această precizie poate fi coborîta chiar pînă la  $0,01 \mu\text{m}$ . În practică oglinzile sînt înlocuite (fig. 35) cu prisme colț de cub, care sînt mult mai puțin sensibile la vibrații. Sem-

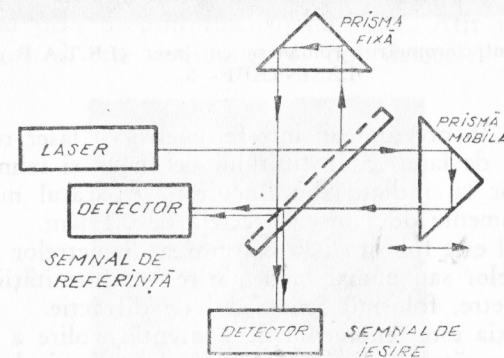


Fig. 35. Interferometru Michelson pentru măsurarea lungimilor (schemă).

nalul de ieșire cade pe un fotodetector care sesizează minimele și maximele luminoase. Ele sînt numărate de un contor, convertite în unități de lungime și afișate.

Pentru a măsura o dimensiune cu acest aparat, oglinda mobilă este deplasată corespunzător în lungul



direcției dorite. Lungimea mare de coerență a laserului cu heliu și neon permite măsurarea în mod continuu de la 0 la 10 m și, cu precizie mai mică, până la 100 m.

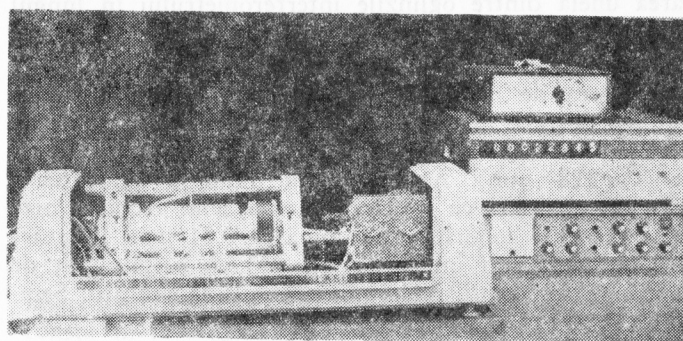


Fig. 36. Interferometrul românesc cu laser (I.F.T.A.R.) model LASINTERF-5.

Figura 36 prezintă un interferometru cu laser realizat în Secția de laseri a Institutului de fizică și tehnologia aparatelor cu radiații din București. Aparatul măsoară pe un domeniu de 5 m cu precizia de  $0,1 \mu\text{m}$ .

Laserul este folosit și la măsurarea diametrelor firelor sau sîrmelor sau numai la urmărirea uniformității acestor diametre, folosind fenomenul de difracție.

Difracția este fenomenul de aparentă ocolire a obstacolelor de către lumină. Astfel, cînd un fascicul de lumină colimat cade pe o sîrmă (fig. 37), pe un paravan aflat la o distanță oarecare nu se obține pur și simplu umbra sîrmei, ci o serie de maxime și minime luminoase, numite franje de difracție (fig. 38). Distanța  $D$  între primele minime luminoase din vecinătatea centrului figurii este legată de diametrul sîrmei  $d$  prin relația

$$D = \frac{\lambda F}{d}$$

unde  $\lambda$  este lungimea de undă a luminii laser, iar  $F$  este distanța focală a lentilei  $L$ , care proiectează figura de difracție pe doi detectori. Detectorii sînt astfel așe-

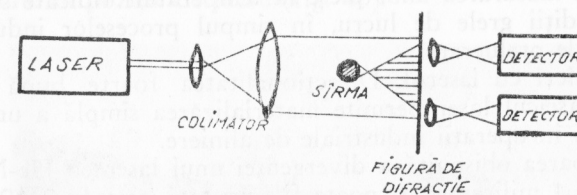


Fig. 37. Schema de principiu a unui aparat cu laser pentru supravegherea uniformității diametrelor.

zați ca pe ei să cadă un minim. Sîrma trece în mod continuu prin dreptul fascicului laser. Atît timp cît diametrul ei este constant, cei doi detectori nu pri-

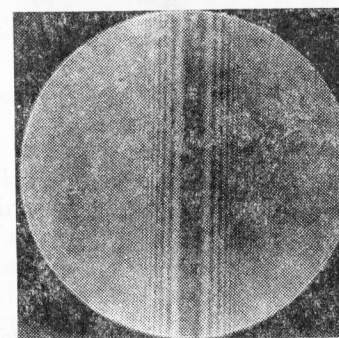


Fig. 38. Figura de difracție a unei sîrme.

mesc lumină. Cînd diametrul sîrmei se schimbă, detectorii nu se mai află în dreptul minimelor luminoase, primesc lumină și semnalizează eroarea. În acest fel,

se pot determina cu mare precizie diametre foarte mici în domeniul  $1-100\text{ }\mu\text{m}$ .

Deoarece metoda este fără contact, ea poate fi utilizată la măsurarea unor piese la temperaturi ridicate sau în condiții grele de lucru, în timpul proceselor industriale de prelucrare.

**Alinieri cu laserul.** Direcționalitatea foarte bună a unui fascicul laser permite materializarea simplă a unei direcții în operații industriale de aliniere.

Valoarea obișnuită a divergenței unui laser cu He-Ne este de 1 miliradian și poate fi corectată până la  $2 \cdot 10^{-5}$  radiani cu ajutorul unui colimator.

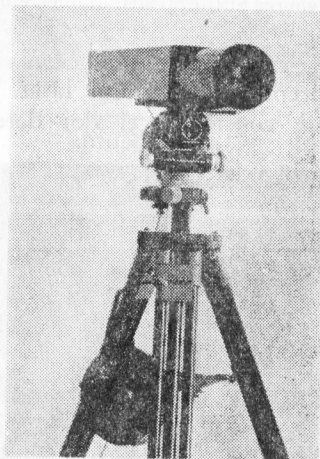


Fig. 39. Laser de aliniere pentru poduri, drumuri, căi ferate (I.F.T.A.R.).

Un laser de  $1-2\text{ mW}$  este suficient pentru astfel de aplicații. El se așază pe un trepied în cazul alinierilor de drumuri, poduri, căi ferate (fig. 39) sau pe tavanul galeriilor de aducțiune ale hidrocentralelor, în mine,

metrouri etc. Folosit la alinierea turnurilor și clădirilor înalte, se așază vertical. În paralel cu axa laserului se montează o lunetă de vizare care permite punerea aparatului în poziție de lucru (fig. 40).

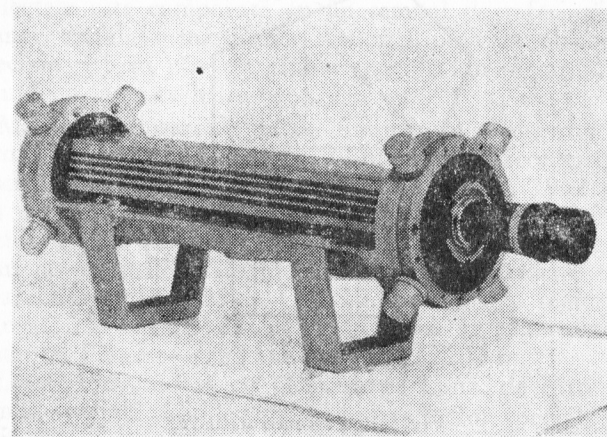


Fig. 40. Laser de aliniere pentru tuneluri de aducțiune, mine, metrouri (I.F.T.A.R.).

Fasciculul laser, vizibil prin aer, servește astfel ca linie de referință față de care se aliniază elementele de construcție. Fasciculul este vizibil până la  $1\text{ km}$ , precizia de aliniere fiind de câțiva milimetri la această distanță. Precizia poate fi mărită dacă se folosesc sisteme de detecție a centrului fasciculului laser.

În unele aplicații, cum ar fi montarea stâlpilor de susținere a podurilor rulante, este necesară materializarea unui plan. Pentru a materializa un plan, fasciculul laser este trimis printr-o prismă rotitoare (fig. 41).

**Radarul optic.** Aparatul permite localizarea cu mare precizie a unui obiect aflat în jurul aparatului până la



8—10 km. Precizia obișnuită a aparatului, atunci când se folosește un laser pulsant, este de  $\pm 5$  m. Radarul cu laser — numit și LIDAR — determină intervalul de

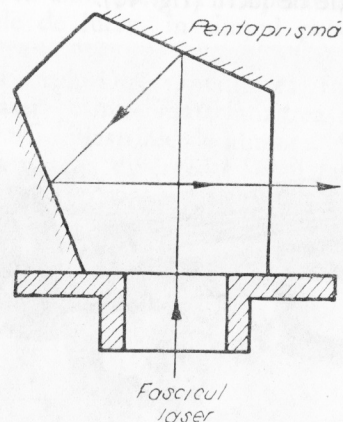


Fig. 41. Prismă rotitoare.

timp dintre momentul plecării unui impuls laser și momentul întoarcerii. Schema de lucru este dată în figura 42.

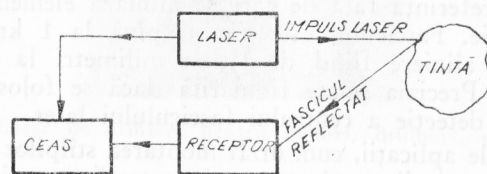


Fig. 42. Schema de principiu a radarului cu laser.

Pentru laserii care lucrează în regim de impulsuri, trebuie avut în vedere ca durata pulsului să fie mult mai

mică decât timpul necesar luminii să se întoarcă de la obiect.

Precizia și bătaia aparatului pot fi mult mărite dacă se folosește o prismă retroreflectoare și un laser continuu, modulat în intensitate. În acest caz, faza unde reflectate este comparată cu un semnal de referință. Se ajunge astfel la măsurarea distanței până la obiect cu precizia  $\pm 5$  m până la câteva zeci de km distanță, folosind un laser cu heliu-neon.

Măsurarea intervalului de timp între momentul declanșării impulsului laser și momentul recepționării fascicului reflectat a fost utilizată încă din 1962 pentru măsurarea distanței de la Pământ la Lună. Primele rezultate nu au fost concludente din cauza lungimii mari a pulsurilor laserului cu rubin. Încercările ulterioare, făcute în 1965 în U.R.S.S. cu laseri în regim declanșat, cu pulsuri de 50 ns, au dus la determinarea distanței Pământ—Lună cu o eroare de 200 m.

După 1969, odată cu plasarea pe Lună, de către misiunea spațială Apollo 11, a unui reflector special, precizia atinsă a fost de  $\pm 15$  cm față de  $\pm 3$  km, eroarea calculului astronomic convențional.

Măsurători de viteze. O primă posibilitate de a măsura viteze de deplasare ar fi utilizarea interferometrului Michelson cu laser. În acest caz, se determină numărul de franje care trec prin fața detectorului în unitatea de timp. Metoda este aplicabilă la viteze mici, de ordinul 0,1 m/s.

O metodă specifică măsurătorilor de viteze este metoda care utilizează efectul Doppler. Efectul Doppler apare ca urmare a schimbării poziției relative a sursei de lumină față de observator și se manifestă prin schimbarea frecvenței luminii recepționate. Când detectorul și sursa sînt fixe (figura 43), iar ținta se află în mișcare

cu viteza  $\mu$ , frecvența luminii laser, difuzată de obiect către detector, se modifică cu valoarea

$$\Delta f = \frac{2\mu}{\lambda} \cos \theta,$$

unde  $\lambda$  este lungimea de undă a laserului, iar  $\theta$  unghiul dintre direcția de mișcare a țintei și direcția de observare.

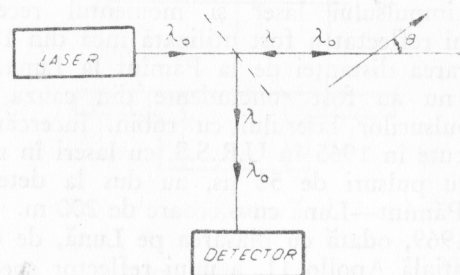


Fig. 43. Schema vitezometrului cu laser.

Aparatul poate fi folosit pentru măsurarea vitezei fluidelor transparente. În timpul curgerii, fluctuațiile locale de presiune din fluid produc împrăștierea luminii laser. Astfel, o parte din lumină este reflectată înapoi și cum fluctuațiile de presiune se propagă cu viteza fluidului, lumina difuzată suferă efectul Doppler. Aparatul poate lucra și la viteze mici și la viteze mari și este util prin faptul că nu presupune contactul cu obiectul în mișcare. El poate fi folosit în condiții foarte grele de lucru, la măsurarea vitezei tablei în laminoare, a firelor sintetice, a vitezei fluidelor — lichide și gazoase — în conducte sau tuneluri aerodinamice etc.

## 4.2. Aplicațiile laserilor în comunicații

Ideea de a folosi lumina ca purtătoare de informații nu e nouă și nu a apărut odată cu laserii. Invenția laserului nu a făcut decât să furnizeze sursa de lumină ideală pentru un sistem optic de comunicații.

Cele mai multe sisteme de comunicații — radio, televiziune — au ca principiu modularea cu semnalul util a unei unde purtătoare, de frecvență mare. În acest fel, aceeași undă purtătoare poate transporta mai multe semnale independente sau, cum se mai spune, informația se transmite pe mai multe canale. Numărul de canale este limitat de frecvența purtătoare. Astfel, pentru banda de unde radio lungi (30 kHz—300 kHz), folosită ca purtătoare, se pot transmite maximum nouă convorbiri telefonice, pentru unde ultracurte (300 MHz — 3 000 MHz) capacitatea de transmitere a informației crește la 100 000 de canale telefonice și 100 canale de televiziune. Pentru frecvența de oscilație a luminii, de ordinul a  $10^{13}$ — $10^{15}$  Hz, numărul de canale telefonice devine de ordinul milioane, iar numărul de canale de televiziune ajunge la ordinul sutelor de mii. Teoretic vorbind, un fascicul laser ar asigura toate necesitățile de comunicații ale omenirii.



Fig. 44. Elementele unui sistem de comunicații cu laser.

Un sistem de comunicații pe purtătoare laser cuprinde de regulă elementele indicate în figura 44.

Tipul de laser diferă de la un sistem la altul. Laserul cu semiconductor are avantajul modulării foarte ușoare



și al gabaritului redus. Prin simpla modulare a curentului de alimentare al joncțiunii se pot obține frecvențe de ordinul  $10^{10}$  Hz. Laserul cu semiconductor are în schimb divergență foarte mare ( $15^\circ$ ) și coerență foarte redusă.

Laserii cu gaz au avantajul unei direcționalități foarte bune și o stabilitate în frecvență remarcabilă, au însă dezavantajul gabaritului relativ mare și un timp de funcționare limitat ( $\sim 10\,000$  ore pentru laserul cu He-Ne și mai puțin pentru toate celelalte tipuri de laseri cu gaz).

Modularea luminii laser se face prin metode diverse. Modularea în amplitudine se poate face pur și simplu mecanic, cu un obturator, prin modularea tensiunii de alimentare, sau cu metode mai rafinate, folosind cristale electrooptice (efect Pockels). Se ajunge astfel la frecvențe de modulație de  $10\text{--}100$  MHz.

Pentru modularea în frecvență se utilizează efectul Doppler sau modulatori acusto-optici.

Sistemul cel mai promițător de modulație utilizabil în comunicațiile cu laser pare a fi sistemul de codificare a impulsurilor laser. Metoda constă în modificarea unei succesiuni de impulsuri laser echidistante și rapide în timp prin simpla suprimare a pulsurilor în codul folosit. Astfel, un detector nu trebuie să stabilească decât prezența sau absența unui impuls laser, indiferent de amplitudinea lui. Acesta este marele avantaj al metodei, în condiții de propagare prin atmosferă.

Propagarea în atmosfera turbulentă este dificultatea cea mai mare în dezvoltarea comunicațiilor cu laser. Ele devin impracticabile pe ploaie, ceață, fum, iar neomogenitățile și gradientii termici produc distorsionarea transmisiei. Mai mult, prezența vaporilor de apă și a bioxidului de carbon în atmosferă duce la absorbția radiației. Atmosfera este complet transparentă numai pentru anumite lungimi de undă, altele fiind complet ab-

sorbite. Zonele de transparentă, numite și „ferestre”, sînt indicate în figura 45.

Din figură se vede că lumina laserului cu  $\text{CO}_2$  ( $\lambda=10,6\text{ }\mu\text{m}$ ) se propagă foarte bine în atmosferă.

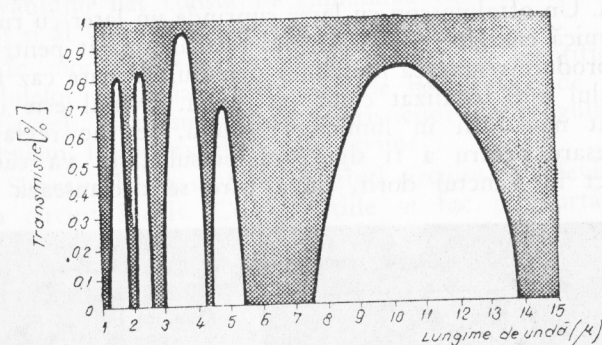


Fig. 45. Ferestrele de transmisie atmosferică.

În spațiul extraterestru comunicațiile laser sînt nelimitate. Pe pămînt soluția preconizată este utilizarea cablurilor de lumină — fibrele optice — capabile să transmită lumina pe zeci de kilometri cu pierderi minime.

#### 4.3. Aplicațiile laserilor în medicină și biologie

Pentru a folosi laserul în medicină, prima problemă care se ridică este controlul în condiții foarte bune al parametrilor laserului, în primul rînd energia sa, pentru a avea posibilitatea să se concentreze această energie exact în zona dorită.

Primul și cel mai important grup de aplicații se referă la folosirea energiei laserului, a intensității sale remar-

cabile. Al doilea grup de aplicații în medicină cuprinde aplicații indirecte privind observarea și prelucrarea datelor sau a probelor biologice.

Una dintre cele mai cunoscute aplicații ale laserului în medicină este realizarea operațiilor de lipire de retină. Un oftalmoscop cu laser cuprinde un laser cu rubin de mică energie ( $\sim 1$  J). Ochiul este anesteziat pentru a se produce relaxarea mușchilor ochiului, în care caz fasciculul este focalizat chiar pe retină. Ochiul este cercetat mai întâi în lumină obișnuită, se fac reglajele necesare pentru a fi siguri că pulsul laser va cădea exact în punctul dorit, după care se declanșează la-

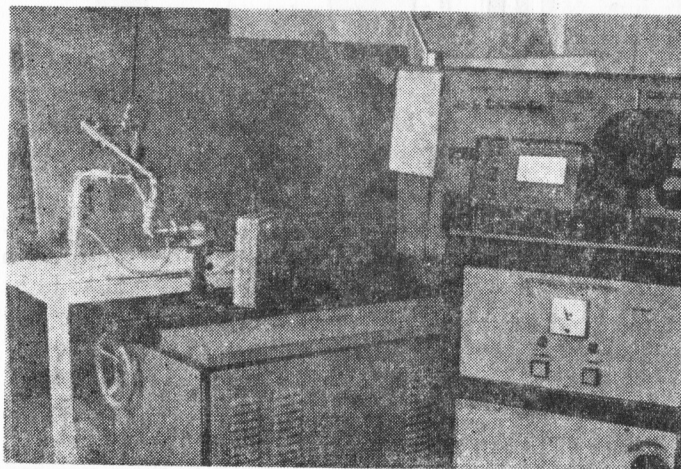


Fig. 46. Bisturiul cu laser cu  $\text{CO}_2$  (I.F.T.A.R.).

serul. Pulsul laser de numai  $100 \mu\text{s}$  durează atât de puțin, încât ochiul nu trebuie imobilizat.

Laseri de putere mare, cum ar fi cel cu bioxid de carbon, sînt folosiți în chirurgie. Bisturiul cu laser

este folosit la îndepărtarea unor tumori. El are avantajul că este perfect steril și poate cauteriza instantaneu rana.

În stomatologie s-au făcut, de asemenea, încercări de utilizare a laserului cu  $\text{CO}_2$  în găurirea dinților. Avantajul net constă în eliminarea zgomotului neplăcut și al vibrațiilor.

În mod indirect laserii sînt folosiți în identificarea celulelor canceroase (prin metode holografice de identificare), la măsurarea caracteristicilor de coagulare a sîngelui, la supravegherea bolnavilor.

Supravegherea se face utilizînd circuite de televiziune cu circuit închis. Comunicațiile se fac pe purtătoare laser, ceea ce garantează o mult mai mare siguranță în funcționare în condițiile în care cablurile obișnuite sînt influențate de multitudinea de circuite înconjurătoare.

#### 4.4. Holografia

Deși nu cea mai importantă, holografia este cea mai spectaculoasă aplicație a laserilor. După cum îi spune și numele — „holos” = total, „graphos” = înregistrare — holografia este o metodă de a înregistra complet o undă luminoasă. Lumina este în general caracterizată de două mărimi: amplitudine și fază. Amplitudinea ridicată la puterea a doua ne dă intensitatea undei și marea majoritate a detectorilor de lumină sînt detectori pătratici, adică sînt sensibili la intensitate și nu la amplitudine. Faza undei luminoase este o mărime care fixează momentul de începere a oscilației luminoase. Pentru o undă luminoasă, care pleacă de la o sursă punctiformă  $S$ , (figura 47) și ajunge pe două obiecte  $O_1$  și  $O_2$  aflate la distanțe diferite de  $S$ , diferența de fază față de observatorul  $O$  este proporțională cu diferența de drum între cele două parcurșuri  $SO_1O$  și



SO<sub>2</sub>O. Amplitudinile celor două unde care vin de la obiectele O<sub>1</sub> și O<sub>2</sub> depind de gradul de a reflecta al acestora și de forma lor. Rezultă că în timp ce amplitudinea unei ne dă intensitatea recepționată de ob-

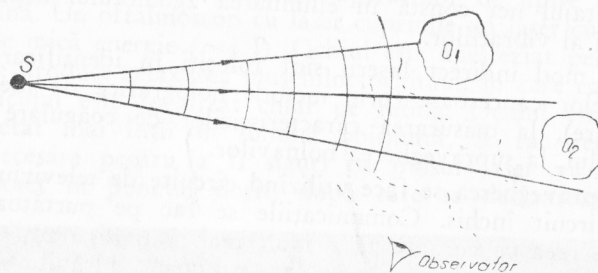


Fig. 47. Diferența de fază și efectul de presiune.

servator, faza undei indică profunzimea scenei vizate. Faza este deci legată de caracterul spațial al scenei pe care o observăm. Fotografia obișnuită nu înregistrează decât intensitatea undei luminoase care vine de la obiect, informația de fază fiind pierdută. Se pierde deci a treia dimensiune a scenei, spațialitatea sau profunzimea. Se pierde și paralaxa scenei, adică schimbarea scenei vizate când se schimbă unghiul de observare.

Este evidentă acum semnificația de înregistrare totală a hologramei. Metoda holografică înregistrează „totul” despre o scenă, adică atât amplitudinea cât și faza undei care vine de la obiect. Cum o hologramă se înregistrează tot pe o placă fotografică, deci pe un detector care nu poate sesiza faza undei, ci numai intensitatea ei, trebuie găsit un fenomen prin care informația de fază să fie transformată în informație de amplitudine.

Fenomenul exista de mult, dar ideea a apărut abia în 1949. Profesorul Denis Gabor — premiul Nobel pentru holografie în 1971 — a avut primul ideea holo-

grafiei, într-o vreme în care realizarea ei practică era mult limitată de lipsa surselor de lumină coerentă.

Gabor a preconizat primul folosirea fenomenului de interferență pentru înregistrarea fazei unei unde lumi-

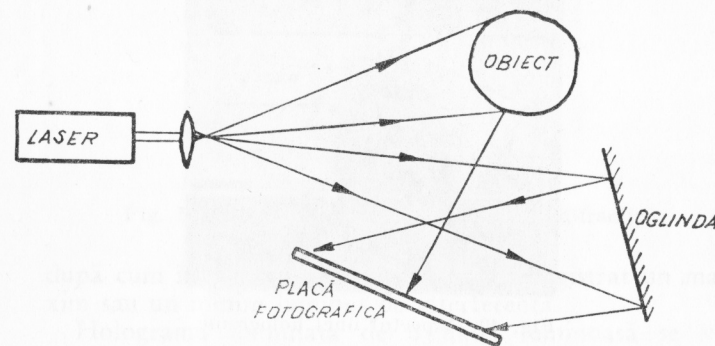


Fig. 48. Înregistrarea unei holograme.

noase. Într-adevăr, forma și numărul franjelor de interferență depind de diferența de fază a celor două unde care interferă, iar vizibilitatea lor de intensitatea celor două fascicule care interferă. Deci pentru a înregistra o hologramă, vom suprapune peste unda luminoasă care vine de la obiect o undă luminoasă de referință (fig. 48). Placa fotografică va înregistra minimele și maximele de interferență rezultate din compunerea celor două unde. Placa fotografică astfel impresionată, dezvoltată și fixată se numește hologramă. Între obiect și placa fotografică nu există nici o lentilă, astfel încât pe placă nu apare o imagine a obiectului. Aspectul general al unei holograme este cel din figura 49.

Informația utilă, înregistrată de hologramă, imaginea obiectului, este cuprinsă numai în forma și calitatea franjelor înregistrate pe placa fotografică. Pentru a

pune în evidență imaginea, holograma trebuie citită, decodificată. În etapa de citire a hologramei se folosește fenomenul de difracție a luminii. Difracția este un fenomen caracteristic tuturor undelor și constă în oco-

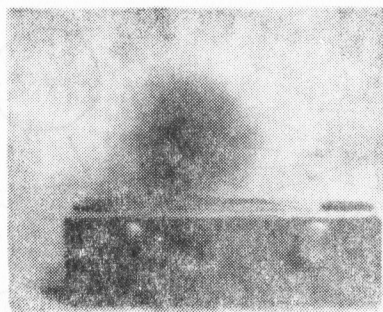


Fig. 49. Aspectul unei holograme.

lirea aparentă a obstacolelor care au mărimi de ordinul lungimii de undă a unei difractate. Astfel, undele radio cu lungimi de undă de zeci de metri pot fi recepționate chiar dacă între antena emițătoare și receptor se află un bloc de locuințe.

Difracția luminii vizibile se produce deci pe obiecte foarte mici, de ordinul fracțiunilor de micron. Un exemplu de difracție am dat și în secțiunea 4.1. O asocieră regulată de obiecte difractante este dată de rețeaua de difracție (fig. 50) formată din zone regulate opace alternate cu zone transparente foarte înguste, realizată prin zgîriere pe o sticlă.

Se constată că lumina care cade pe o rețea de difracție este divizată în mai multe fascicule, dintre care cel central este mai intens, iar celelalte scad foarte repede în intensitate. Aceste fascicule se numesc ordine de difracție și se numerează simetric:  $-2$ ,  $-1$ ,  $0$ ,  $+1$ ,  $+2$ , ...

O hologramă este o rețea de difracție neregulată. Într-adevăr, maximele și minimele de interferență apar pe placa fotografică ca zone înnegrite sau transparente,

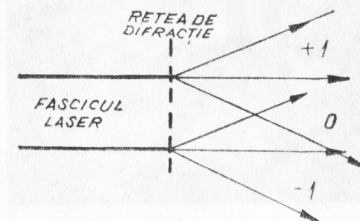


Fig. 50. Difracția luminii pe o rețea de difracție.

după cum în punctul respectiv a fost înregistrat un maxim sau un minim luminos de interferență.

Holograma iluminată de o undă luminoasă se va comporta deci ca o rețea de difracție. Iluminată de

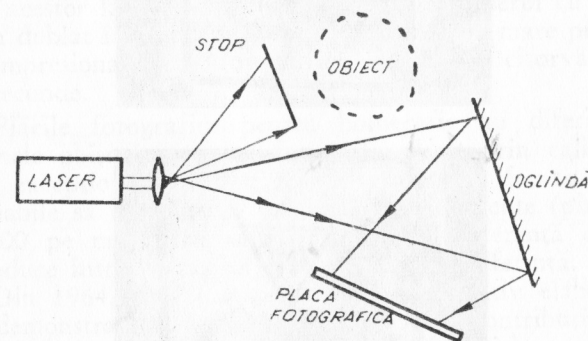


Fig. 51. Citirea unei holograme.

unda de referință (fig. 51) holograma va difrcta lumina într-o manieră care depinde de rețeaua de difracție imprimată, deci de forma undei care vine de la





Fig. 52, 53, 54. Fotografii ale unei imagini holografice; aparatul de fotografiat este pus la punct în planuri diferite și sub unghiuri diferite (I.F.T.A.R.).

obiect. Privind prin hologramă ca printr-o fereastră (figura 51) vom observa imaginea obiectului cu toate atributele de spațialitate. Ochiul primește de la hologramă o undă luminoasă de exact aceeași formă ca de la obiectul însuși. De aici definiția corectă a holografiei: holografia este o metodă de înregistrare și redare a undelor luminoase.

În figurile 52, 53 și 54 sînt prezentate trei fotografii ale unei scene reproduse de o hologramă, astfel încît să poată fi ilustrată profunzimea și paralaxa unei imagini holografice, caracterul ei spațial, tridimensional.

Condiția ca cele două unde — obiect și de referință — să interfere este ca undele să fie coerente. Ele provin de la un același laser, deci de la o sursă de lumină coerentă. Se folosesc de regulă laserii cu heliu-neon sau laserul cu argon ionizat, pentru obiecte staționare.

Pentru a realiza holograme ale unor obiecte în mișcare se folosesc laseri pulsați care „îngheață” mișcarea datorită pulsurilor foarte scurte pe care le emit. Energia acestor laseri — laserul cu rubin sau laserul cu neodim dublat în frecvență — este suficient de mare pentru a impresiona placa fotografică în timpul câtorva nanosecunde.

Plăcile fotografice pentru holografie nu diferă de filmele obișnuite pentru fotografie decît prin calitatea lor excepțională; sînt plăci de granulație foarte fină, capabile să înregistreze cele mai mici elemente (pînă la 3 000 pe milimetru) ale figurii de interferență ce se produce între fasciculul obiect și cel de referință.

Din 1964, cînd holografia a fost definitiv elaborată și demonstrată ca metodă practică, prin contribuția savanților americani E. N. Leith și J. Upatnieks, au apărut numeroase aplicații ale holografiei în viața practică.

Astfel s-au dezvoltat metode holografice de control nedistructiv, cum ar fi măsurarea deformărilor și tensiunilor, măsurarea gradului de oboseală al materiale-

lor, măsurarea gradientilor de temperatură și presiune, a gradului de corodare, măsurarea parametrilor de curgere în fluide subsonice și supersonice, măsurarea parametrilor corpurilor în vibrație etc.

Metoda este generală și se numește interferometrie holografică. Ea constă din a realiza două holograme pe aceeași placă fotografică (metoda dublei expuneri). În prima expunere se realizează holograma de referință a obiectului în starea sa normală sau inițială, iar în a doua expunere se realizează holograma obiectului influențat de perturbația de studiat. La citire se obțin două imagini ale obiectului. Cele două imagini, sau fronturi de undă, reconstituite de hologramă, se suprapun. Dacă sînt perfect identice, se suprapun perfect și interferează constructiv, obținîndu-se o intensitate luminoasă mai mare în imagine. Dacă obiectul s-a modificat, cele două imagini nu mai coincid perfect. Neconcordanțele apar sub formă de minime și maxime luminoase, rezultate prin interferența celor două imagini. Se pot pune astfel în evidență și măsura cu mare precizie modificări de ordinul fracțiunilor de micron.

O altă variantă a interferometriei holografice — interferometria holografică în timp real — realizează suprapunerea imaginii produse de hologramă peste obiectul real.

Cînd obiectul este modificat, frontul de undă difuzat de obiect interferează cu frontul de undă reconstituit de hologramă, producînd o distribuție de franje de interferență. În acest caz evoluția modificărilor poate fi urmărită în mod continuu.

Figura 55 reprezintă fotografia interferogramei holografice a unui obiect comprimat. Dacă obiectul este transparent, lumina care îl traversează sesizează variația de grosime a obiectului cînd acesta este solicitat (fig. 56).

În figura 57 franjele de interferență sînt corelate cu variația de temperatură a gazului dintr-un bec cu fi-

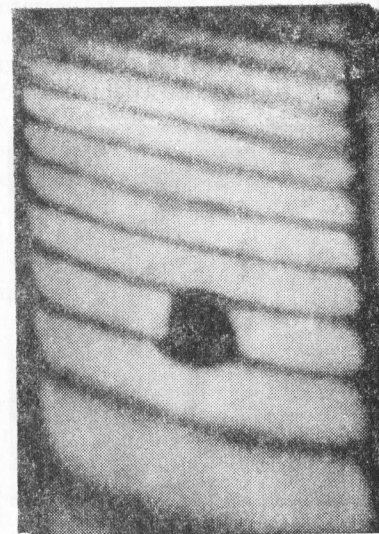


Fig. 55. Interferogramă holografică a unui obiect solicitat la flexiune (I.F.T.A.R.).

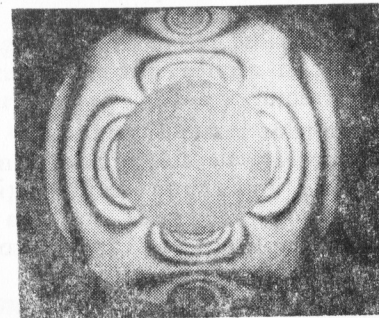


Fig. 56. Franje holografice pentru un obiect transparent comprimat (izopache holografice, I.F.T.A.R.).



lămpă incandescentă. Becul a fost traversat de un fascicul laser care s-a întâlnit pe placa fotografică cu o undă de referință. S-au realizat astfel două holograme — una cu filamentul rece și alta cu filamentul cald — prin

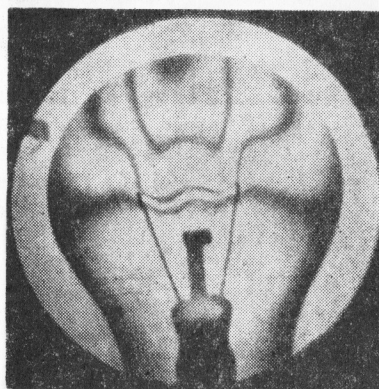


Fig. 57. Gradient termic în jurul filamentului unui bec (I.F.T.A.R.)

sticla becului, care nu împiedică cu nimic observarea fenomenului, deoarece ea nu se modifică între cele două expuneri.

Singurele modificări se referă la indicii de refracție al gazului din bec și acestea sînt puse în evidență de franjele de interferență.

Numărul exemplurilor poate fi continuat, metoda este însă pe deplin ilustrată de cele arătate pînă acum.

O altă categorie importantă de aplicații ale holografiei este legată de prelucrarea optică a informației și de calculatoare, aplicații pe care le vom trece pe scurt în revistă în paragraful următor.

Caracterul spațial al înregistrării holografice, alăturat principiilor clasice ale microscopului, a dus la realizarea microscopului holografic. O primă idee în mi-

croscopia holografică presupune obținerea unei mărimi plecînd chiar de la principiul holografiei. Într-adevăr, dacă o hologramă ar fi înregistrată utilizînd radiații Röntgen ( $0,05 \text{ \AA} - 5 \text{ \AA}$  lungime de undă) și ar fi citită cu o rază laser de lumină vizibilă ( $\lambda = 5000 \text{ \AA}$ ) s-ar putea obține o mărire egală cu raportul lungimilor de undă, deci de  $1000 - 100000$  ori.

Distorsiunile produse de această operație sînt însă foarte mari. De aceea, aplicația practică imediată a holografiei în microscopie este de a face vizibil un volum mare din proba studiată.

La microscopul obișnuit, cu cît mărirea este mai mare, cu atît profunzimea scenei vizate este mai mică. Capacitatea hologramei de a înregistra în volum, deci cu mare profunzime, permite „memorarea” scenei vizate și studierea ei ulterioară cu un microscop obișnuit prin puneri la punct succesive. Această posibilitate este esențială atunci cînd se studiază probe biologice evolutive, sau alte fenomene variabile în timp.

Lumina laser cu care se realizează holograma este extrem de monocromatică și deci imaginile sînt monocrome. Dacă la înregistrare se folosesc mai mulți laseri de culori diferite, pe placa fotografică se vor înregistra mai multe holograme corespunzătoare fiecărei culori. Imaginea reconstituită de hologramă la iluminarea cu același amestec de culori ca la înregistrare, va apărea colorată.

Iată deci cinematografia tridimensională în culori, subiect intens de cercetare în laboratoarele de holografie.

#### 4.5. Prelucrarea optică a informației și calculatoarele

Posibilitatea de a prelucra date, puse sub o formă convenabilă, prin metode optice, a fost inventată încă în secolul trecut de E. Abbe în 1893 și mai tîrziu, în

1906 de A. B. Porter în cursul unor experimentări de verificare a teoriei microscopului. Experiența Abbe și Porter capătă o rară frumusețe și o mare simplitate când sursa de lumină este un laser. Ea stă la baza tu-

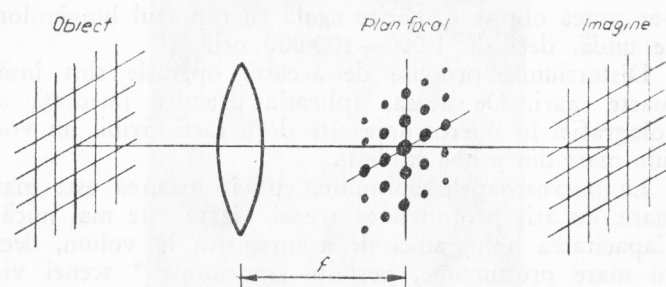


Fig. 58. Schema experienței Abbe și Porter.

turor schemelor optice de prelucrare optică a datelor. În experiența Abbe și Porter un obiect format dintr-o rețea de linii, ca în figura 59 a, este iluminat de o undă de lumină plană, coerentă (figura 58). În planul focal al lentilei se obține o distribuție luminoasă formată din puncte așezate într-o ordine anumită (figura 59 b). Această distribuție luminoasă, aflată în planul focal al lentilei, se numește spectru sau transformată Fourier.

Între cele două distribuții luminoase, obiect și spectru, există o relație matematică bine definită. În continuare, la o distanță dictată de legile opticii geometrice se obține imaginea obiectului. Împiedicând anumite componente ale spectrului obiectului să ajungă în imagine, vom putea modifica imaginea.

Astfel, dacă vom introduce în planul focal o fantă îngustă, care nu lasă să treacă mai departe decât un singur șir central de puncte orizontale, vom obține în imagine numai rețeaua verticală de linii. Rețeaua de

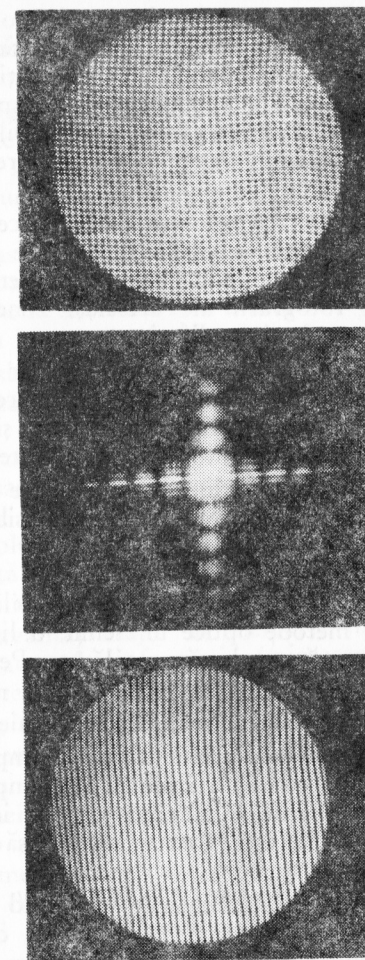


Fig. 59. Obiectul (a), transformata Fourier (b) și rezultatul filtrării (c).



puncte verticală corespunde elementelor orizontale ale obiectului, iar punctele din afara axelor corespund unor elemente înclinate ale obiectului (intersecțiile de linii).

Aceasta este metoda filtrajului optic spațial. Introducând în planul Fourier filtre convenabile, diapozitivul obiect din planul obiect poate fi prelucrat după dorință.

Se pot astfel efectua operații matematice complicate, se pot extrage semnale utile din zgomot, se pot compara fotografii aeriene și se pot pune în evidență diferențe infime pentru fotografii ale aceleiași zone geografice, luate la momente de timp diferite.

Metoda optică de prelucrare a datelor — filtrajul spațial — este larg utilizată în identificarea bogățiilor naturale, a zonelor petrolifere subterane și submarine, prin prelucrarea fotografiilor luate din satelit.

Holografia permite obținerea unor filtre foarte complicate, prin utilizarea cărora gama de posibilități a filtrajului spațial se extinde foarte mult.

Recunoașterea semnelor. Există posibilitatea de a identifica prin metode optice un semn, o literă, o semnătură, o amprentă, o adresă poștală etc. Pentru aceasta trebuie făcută o comparație între semnul memorat într-o bibliotecă de date și semnul ce trebuie identificat.

Să considerăm exemplul identificării amprentelor. O amprentă trebuie comparată cu toate amprente din biblioteca de amprente pînă cînd se face identificarea. În general operația este foarte laborioasă și durează foarte mult.

Operația poate fi automatizată folosind următoarea proprietate a unei holograme. Am văzut că un front de undă complicat poate fi generat de o hologramă. Procesul are loc și în sens invers. Dacă holograma este iluminată exact de unda obiect, atunci se generează

unda de referință. Acesta este principiul identificării sau al recunoașterii.

În practică se realizează o bibliotecă de holograme ale amprentelor, folosind ca obiect diapozitivele transparente ale amprentelor. Amprenta de identificat, tot sub forma unui diapozitiv, este proiectată pe rînd pe hologramele din bibliotecă. În momentul coincidenței, holograma astfel iluminată va genera o undă luminoasă. Procesul poate fi complet automatizat. Din păcate, pentru moment sistemul este limitat de prezența ambiguităților în interpretare.

În mod similar se poate realiza un cititor optic de adrese, de cărți etc., prin identificarea literă cu literă.

**Memorii optice.** Hologramele pot înmagazina informație bi- sau chiar tridimensională. Informația poate fi în culori, imagine sau tipăritură. Folosind materiale speciale, holograma poate fi înregistrată sau ștersă după dorință. Informația memorată poate fi prelucrată, identificată, separată de zgomote sau de altă informație.

Un alt avantaj major al memoriei holografice este timpul de acces la informație (microsecunde) și capacitatea foarte mare.

În figura 60 sînt schematizate principalele elemente ale unei memorii holografice. Fasciculul laser este deflectat de un sistem deflector  $x-y$ , care permite să ne adresăm unei holograme sau alteia din matricea de holograme. O astfel de matrice poate avea pînă la 1 024 de holograme, fiecare cam de 1 mm în diametru așezate pe 32 de rînduri și 32 coloane. Fiecare hologramă, atunci cînd este iluminată, produce un set de spoturi luminoase care sînt detectate de o matrice de detectori. O hologramă de 1 mm poate astfel înmagazina 10 000 unități de informație, iar o placă fotografică de cîțiva centimetri poate memora milioane de unități.

Cînd datele trebuie schimbate, se înregistrează altă hologramă sau se folosesc materiale fotocrome. Aceste materiale au proprietatea că nu necesită operații de dezvoltare și fixare și pot fi șterse cu un fascicul intens de lumină.

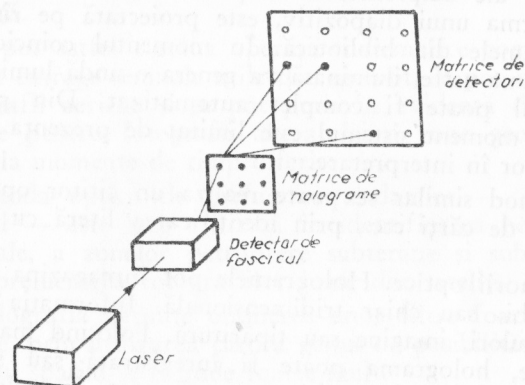


Fig. 60. Elementele unei memorii holografice.

**Holograme modelate pe calculator.** Există posibilitatea de a obține imagini ale unor obiecte inexistente? Poate un arhitect să vadă clădirea pe care a imaginat-o, poate un inginer să vadă cum se comportă un element constructiv inexistent, abia imaginat, cum s-ar comporta supus unor probe?

Răspunsul este afirmativ, iar soluția este oferită de combinația calculator-holografie.

Calculatorul poate să calculeze distribuția luminoasă care trebuie înregistrată pe placa fotografică. Această distribuție este afișată pe ecranul unui televizor și fotografiată. Fotografia astfel obținută este o hologramă, care, iluminată de un fascicul laser, va produce o imagine, fantoma obiectului imaginat.

#### 4.6. Aplicațiile laserilor în prelucrarea materialelor

Monocromaticitatea și direcționalitatea surselor de lumină laser corelate cu intensitatea lor deosebită duc la posibilitatea de a obține densități de energie foarte mari, capabile să topească materialele cele mai greu fuzibile, să sudeze materiale imposibil de sudat prin alte metode, să găurească și să taie materialele cele mai dure etc.

Radiația laser poate fi concentrată pe suprafețe foarte mici. Pata obținută în focarul unei lentile bine corectată de aberații are un diametru de numai câțiva microni (fig. 61).

Se obțin astfel densități de energie de ordinul  $10^6$  W/mm<sup>2</sup> pentru laserul cu CO<sub>2</sub> continuu și  $10^{12}$  W/mm<sup>2</sup> pentru laserul cu sticlă dopată cu neodim, față de numai  $10^3$  W/mm<sup>2</sup> pentru flacăra oxiacetilenică.

Procese fizice de sudare, găurire, tăiere se desfășoară în mod diferențiat.

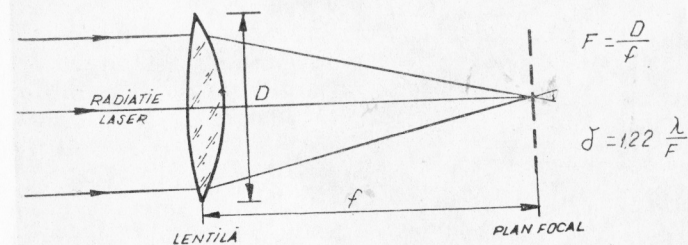


Fig. 61. Concentrarea radiației laser în focarul unei lentile ( $\delta$  = diametrul petei focale).

**Găurirea cu laserul.** Laserul realizează găuri în materiale dure prin evaporare. Densitatea enormă de energie ce se obține în planul focal al lentilei de concen-



trare (fig. 62) produce evaporarea locală a materialului. Încălzirea se produce atât de rapid încât căldura nu are timp să difuzeze în material și astfel dimensiunile

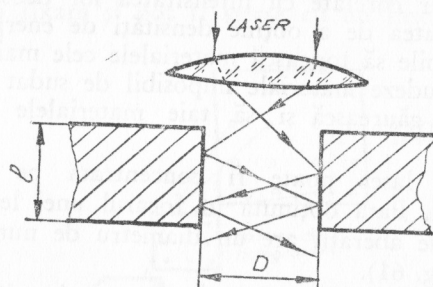


Fig. 62. Desfășurarea procesului de găurire cu laserul.

găurii se mențin foarte mici (fig. 63). Găuri de ordinul micronilor pot fi date în materialele de cele mai diverse durități, inclusiv în rubinele pentru ceasuri. Pentru a

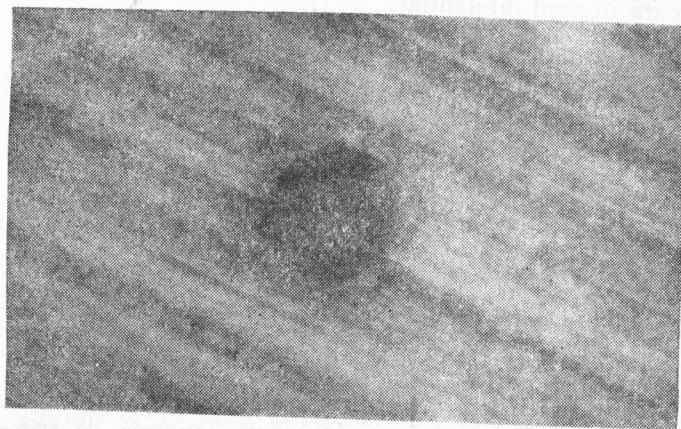


Fig. 63. Fotografia unei găuri de  $\approx 100 \mu\text{m}$ , dată într-o placă de oțel cu instalația Neodim 10 (I.F.T.A.R.).

localiza foarte precis locul în care urmează să se concentreze fasciculul de raze laser, o instalație de microgăurire cu laser cuprinde (fig. 64) un sistem optic de

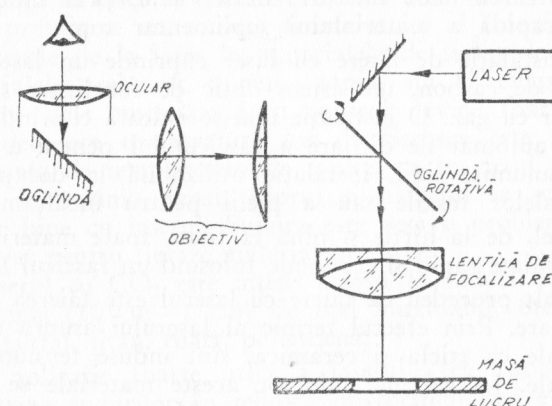


Fig. 64. Schema unei instalații de microgăurire cu laser.

vizare și punere la punct, vizarea făcându-se chiar prin lentila de focalizare. De regulă se lucrează cu laseri în regim de impulsuri cum sînt laserul cu rubin sau laserul cu sticlă dopată cu neodim.

Tăierea cu laserul. Pentru tăiere se folosesc laseri care emit continuu. Când materialele supuse operației de tăiere sînt foarte dure se folosește suflarea cu oxigen. Viteza de tăiere a metalelor crește mult cînd se suflă oxigen. În cazul metalelor neferoase, prin suflarea cu oxigen se formează oxizi care au o reflectivitate mai redusă decît metalul pur și deci radiația laser este mai bine absorbită. În cazul metalelor fieroase, la suflarea cu oxigen se produc reacții exoterme, care conduc de asemenea la ridicarea temperaturii. Când materialele

de tăiat sînt inflamabile se suflă bioxid de carbon sau azot pentru a împiedica aprinderea.

În general suflarea unui gaz în zona de tăiere duce la realizarea unor tăieturi curate, nete, prin îndepărtarea rapidă a materialului suplimentar topit.

O instalație de tăiere cu laser cuprinde un laser cu bioxid de carbon, un sistem optic de focalizare și un suflător cu gaz. O instalație mai sofisticată cuprinde un sistem automat de dirijare a fasciculului pentru a tăia după anumite linii, instalație utilizabilă la decuparea materialelor textile sau a pielii pentru încălțăminte.

Astfel, de la hîrtie și pînă la titan, toate materialele pot fi tăiate rapid și economic folosind un fascicul laser.

Un alt procedeu de tăiere cu laserul este tăierea prin tensionare. Prin efectul termic al laserului asupra unor materiale ca sticla și ceramica, sînt induse tensiuni în materiale. La cel mai mic șoc aceste materiale se rup în lungul direcțiilor de tensionare. Metoda este folosită cu succes la tăierea plăcuțelor de siliciu în industria electronică. Se folosesc laserii cu  $\text{CO}_2$  sau cu YAG de puteri relativ mici.

O altă aplicație mult răspîndită în industria electronică este trimerizarea sau corectarea valorilor rezistențelor. Metodele de producere a rezistențelor prin depunerea unor straturi subțiri rezistive dau abateri mari de la valoarea dorită. De aceea se preferă realizarea unor valori supranominale și trimerizarea sau ajustarea ulterioară prin îndepărtarea stratului rezistiv suplimentar. Există foarte multe sisteme cu laseri, mai mult sau mai puțin complicate, cuprinzînd laseri cu argon, neon, neodim sau  $\text{CO}_2$ .

Precizia de trimerizare cu laseri este foarte bună, metoda este curată și foarte bine controlabilă. Se ajunge astfel al o trimerizare în limitele a 0,01% din valoarea rezistenței.

Procesul de trimerizare implică uneori tăieri, alteori vaporizare, dar puteri mici ale radiației laser incidente.

**Sudura în fascicul laser.** Realizarea unei suduri cu laserul presupune un control foarte strict al transferului de energie de la laser la materialele de sudat deoarece materialele trebuie numai topite nu și evaporate. Pentru unele materiale acest control devine foarte dificil deoarece temperatura lor de fierbere este foarte apropiată de temperatura de topire, ca în cazul tantăului. În schimb aurul, cuprul și nichelul se sudează foarte bine cu laserul. Sudura este deci o problemă de rezolvat pentru fiecare material în parte.

Laserul cu  $\text{CO}_2$  este intens folosit la suduri de grosimi mici ( $10\mu\text{m}$ —1 cm) de oțel inoxidabil, oțel carbon, tantal, titan, cuarț, polietilenă.

O aplicație foarte utilă a laserului cu rubin este realizarea sudurilor în tehnica microcircuitelor electronice. Această metodă nu afectează cu nimic zonele adiacente, sudura este foarte mică, sigură și curată. Un impuls laser este suficient pentru a suda sîrmele de aur de numai 10—100  $\mu\text{m}$ , utilizate curent în industria de microcircuite.

#### 4.7. Aplicații în știință

Grupăm sub acest titlu cîteva aplicații foarte importante ale laserilor pentru dezvoltarea viitoare a științei și tehnicii, aplicații legate de obținerea reacțiilor termionice controlate, separări izotopice cu laser, optică neliniară.

**Separări izotopice cu laserul.** Una dintre cele mai pline de promisiuni aplicații ale laserului este îmbogățirea uraniului natural folosind o tehnică laser. Moti-



vele economice sînt evidente. Ideea de bază a procesului de îmbogățire izotopică a uraniului constă în utilizarea monocromaticității extraordinare a laserului pentru a selecta și separa izotopii.\*

Uraniul natural are trei izotopi  $^{234}_{92}\text{U}$ ,  $^{235}_{92}\text{U}$  și  $^{238}_{92}\text{U}$  dintre care numai  $^{235}_{92}\text{U}$  este fisibil, deci utilizabil în energia nucleară. În stare naturală, uraniul este un amestec de izotopi în proporția 0,170%  $^{235}\text{U}$ , 99,280%  $^{238}\text{U}$  și 0,0050%  $^{234}\text{U}$ . Creșterea  $^{235}\text{U}$  chiar și cu un procent în amestecul combustibil este astfel extrem de importantă. Operația de îmbogățire, așa cum se face astăzi, este lentă și extrem de costisitoare.

Procedeul de separare cu laser exploatează micile diferențe dintre nivelele energetice ale izotopilor. În acest scop, frecvența laserului trebuie să se încadreze exact în intervalul energetic a două nivele de energie ale izotopului 235, pentru ca numai acesta să fie excitat și deci să treacă pe un nivel energetic superior.

Cum nivelele de energie ale izotopilor sînt extrem de apropiate, nici o altă sursă luminoasă, în afară de laser, nu este suficient de monocromatică pentru a excita numai un izotop.

În acest fel, se realizează marcarea izotopilor de uraniu 235. Separarea se face ulterior prin alte procese fizice ce acționează numai asupra izotopilor excitați.

Pentru ca întregul proces să fie posibil este deci nevoie ca nivelele energetice ale izotopilor să fie bine definite, laserul să fie foarte monocromatic și acordabil cu precizie pe frecvența necesară, iar procesul de separare să acționeze numai asupra atomilor excitați.

\* Izotop (ISOS = același, TOPOS = loc) — atomi ai aceluiași element, care ocupă același loc în tabelul lui Mendeleev, dar au mase atomice diferite. Uraniul ocupă locul 92 în tabelul lui Mendeleev și are trei izotopi, de masă 234, 235 și 238 unități atomice de masă; 1 u.a.m. este egală cu  $1,66 \cdot 10^{-27}$  kg.

O schemă de funcționare a procesului este reprezentată în figura 65. Un foton laser, de energie  $h\nu_1$ , acționează riguros numai asupra izotopului A și lasă neafectat izotopul B. Obținem astfel atomi ai izotopului A

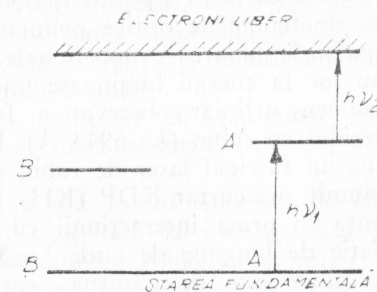


Fig. 65. Nivelele energetice ale izotopilor A și B.

în starea excitată A'. Dacă, în continuare, cu alt laser se furnizează atomilor A' o energie  $h\nu_2$ , suficientă ionizării lor, se obțin ioni ai atomului A. În incinta de lucru se vor obține deci ioni ai izotopului A și izotopi neutri B. Un câmp electric poate separa acum atomii ionizați de cei neutri și procesul este încheiat.

Optică neliniară. Concentrarea foarte mare de energie, în timp și spațiu, care se obține cu ajutorul laserilor, a pus în evidență fenomene de interacție lumină-substanță, cu totul noi și surprinzătoare.

Cînd un fascicul de lumină cade pe un material oarecare, are loc o schimbare în distribuția atomilor materialului, o interacțiune. La nivele de energie mici această interacțiune este liniară, adică perturbația crește direct proporțional cu amplitudinea. La energii foarte mari apar efecte noi. Schimbările în distribuția și alinierea atomilor nu mai sînt proporționale cu energia fascicu-

lului incident, ci cu pătratul sau puterea a treia a energiei. Schimbarea distribuției atomilor în material influențează lumina perturbatoare, existând posibilitatea de a obține noi linii laser în urma unei astfel de interacțiuni. Fenomenele de acest tip sînt înglobate în denumirea comună de fenomene optice neliniare, spre deosebire de fenomenele liniare (proporționale cu amplitudinea) care au loc la energii luminoase mici.

Primul fenomen neliniar observat a fost dublarea frecvenței laserului cu rubin ( $\lambda=6943 \text{ \AA}$ ). Încă în 1961 s-a observat că un fascicul laser de rubin care cade pe un cristal denumit prescurtat KDP ( $\text{KH}_2\text{PO}_4$ ) își dublează frecvența în urma interacțiunii cu cristalul. Se obține o radiație de lungime de undă  $\lambda=3472 \text{ \AA}$ . Radiația astfel obținută este, de asemenea, coerentă, direcționată și monocromatică. Este deci tot o radiație laser. Iată deci o metodă de a multiplica sursele de lumină laser.

O altă metodă de a obține surse coerente este utilizarea efectului Raman. Efectul propriu-zis este cunoscut din 1928 și a fost descoperit de Chandrasekhara Venkata Raman. Raman a observat că în lumina difuzată de anumite substanțe apar frecvențe luminoase care nu erau prezente în lumina incidentă. Astfel, dacă o cuvă cu benzen este iluminată de o lampă cu mercur, în lumina împrăștiată de benzen apare o frecvență nouă mai mică decît a mercurului și alta mai mare, dar la același interval. Frecvența mai mică (lungimea de undă mai mare) apare atunci cînd fotonii incidenti ridică molecula benzenului pe un nivel de energie superior, consumîndu-și astfel o parte din energie. În acest mod, ținînd cont de relația lui Plank, fotonii împrăștiați vor avea o frecvență mai mică. O parte din fotoni vor înîlîni însă molecule excitate. Prin dezexcitarea moleculelor, energia fotonilor crește, deci și frecvența lor crește. Desigur posibilitatea de a înîlîni molecule exci-

tate este mică și, din acest motiv, liniile Raman de frecvențe mai mari sînt mai puțin intense decît liniile Raman de frecvență mai mică decît a luminii incidente.

Cînd lumina incidentă este lumină laser, liniile Raman vor fi foarte intense. Dacă celula cu benzen este introdusă în cavitatea rezonantă a unui laser cu rubin, acesta va emite coerent nu numai lumina roșie a rubinului ci și liniile Raman.

În aceeași categorie de fenomene noi, de optică neliniară, mai intră absorbția de doi fotoni și autofocalizarea.

Absorbția a doi fotoni simultan de către un singur atom a fost observată la interacțiunea luminii foarte intense a laserului cu rubin cu atomii cesiului în stare de vapori. Fotonii laserului cu rubin au o energie care nu corespunde diferenței între oricare două nivele de energie ale atomului de cesiu. Dar acești atomi aveau un nivel de energie care corespundea exact energiei a doi fotoni de lumină laser. Dacă fasciculul laser este destul de intens, un mare număr de atomi de cesiu vor absorbi simultan cîte doi fotoni și absorbția va putea fi pusă în evidență.

Autofocalizarea este un fenomen prin care un fascicul laser foarte intens, ce se propagă printr-un material uniform și transparent, se focalizează ca și cum

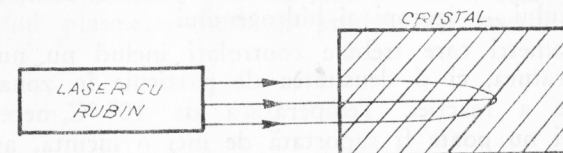


Fig. 66. Autofocalizarea fasciculului laser.

ar trece printr-o lentilă (fig. 66). În realitate se obține un efect de lentilă: materialul se comportă diferit pentru intensități diferite și cum fasciculul laser este mai



intens la mijloc decât la margini, indicele de refracție al materialului diferă pe secțiunea transversală a fasciculului. Această variație a indicelui de refracție produce un efect de lentilă.

Fenomenul de autofocalizare este deosebit de periculos în tehnica laser, deoarece poate produce distrugerea componentelor optice pe care fasciculul laser le traversează.

Rolul laserului în fuziunea nucleară. Energia nucleară se poate obține atât prin fisiune, adică prin scindarea unui nucleu greu în două nuclee medii, cât și prin fuziunea nucleelor ușoare de la începutul tabelului periodic al elementelor. Reacțiile de fuziune constituie o sursă practic inepuizabilă de energie, deoarece materia primă este apa. Pentru declanșarea unei reacții termonucleare este nevoie de o temperatură foarte ridicată, de unde și numele de reacție termonucleară. Până acum s-au obținut explozii termonucleare, în care caz ridicarea temperaturii se face printr-o explozie nucleară de fisiune. Obținerea reacției termonucleare controlate ar rezolva necesitățile de energie ale omenirii și acesta este motivul pentru care se fac mari eforturi pe multiple direcții pentru rezolvarea problemei. Se pun mari speranțe în obținerea fuziunii controlate a deuteriului și tritiului — izotopi ai hidrogenului.

Parametri care trebuie controlați includ nu numai temperatura, ci și densitatea de particule în zona de inițiere a reacției. Temperatura de  $10^8$  °C, necesară reacției nu poate fi suportată de nici o incintă, astfel că materialul sub formă de plasmă este ținut de câmpuri magnetice intense, departe de pereții incintei. Materialul fuzionabil — deuteriul sau amestec de deuteriu și tritium — trebuie deci încălzit și menținut un timp suficient de lung la o temperatură enormă.

Se pare că laserul poate să facă atât ridicarea temperaturii picăturii de material fuzionabil cât și menținerea densității mari de particule a plasmei\*, fără confinare exterioară.

Ideea de bază pentru a realiza fuziunea cu laserul este de a încălzi o țintă de D—T, inițial înghețată, prin absorbția radiației laser, într-un timp foarte scurt.

În prezent se experimentează folosirea mai multor fascicule laser, dispuse simetric și focalizate în același punct. Se creează posibilitatea de a concentra o densitate mai mare de energie în regiunea țintei și de a o iradia uniform și simetric, obținându-se o plasmă aproape sferică. Evaporarea suprafeței țintei se produce atât de rapid încât gazele de la suprafața picăturii sînt aruncate cu mare viteză în afară și prin reacție se produce o forță care acționează în sens invers. Apare astfel o presiune enormă, care acționează asupra miezului picăturii și îl comprimă de  $10^3$ — $10^4$  ori.

În acest fel se pare că laserul poate rezolva toate problemele fuziunii nucleare.

Energiile obținute pînă acum nu sînt însă suficiente. E nevoie ca energia laserilor pulsați să crească de la 10 kJ, obținuți în prezent, pînă la 300 kJ, lucru estimat ca posibil în următorii 10 ani. Pînă atunci o gamă largă de probleme practice sînt și vor fi rezolvate în studiul plasmelor fierbinți produse cu laserul.

\* Plasma este materia în stare de nuclee și electroni separați.

## 5. LASERII ÎN ȚARA NOASTRĂ

Cercetările privind laserii și aplicațiile lor au fost abordate la noi în țară în Institutul de fizică atomică și continuate astăzi pe platforma fizicii românești în noul cadru al Institutului de fizică și tehnologia aparatelor cu radiații (I.F.T.A.R.). Aceste cercetări au fost inițiate în cadrul fostului laborator de metode optice în fizica nucleului, care prin anii '60 se ocupa de spectroscopie de mare rezoluție, descărcări în gaze și depuneri în vid. Ca preocupări, laboratorul se afla foarte aproape de cercetările specifice laserilor. Iată de ce, în toamna anului 1962, țara noastră și-a înscris numele printre primele țări din lume care au obținut lumină coerentă.

Sub conducerea profesorului Ioan Agârbiceanu, cercetătorii români realizează prin eforturi proprii un laser cu heliu și neon capabil să emită lumină laser infraroșie ( $\lambda = 1,15 \mu\text{m}$ ). Nu după multă vreme s-a obținut emisie stimulată pentru același tip de laser la alte două lungimi de undă:  $3,39 \mu\text{m}$  și  $6328 \text{ \AA}$ .

O a doua premieră în evoluția cercetărilor de laseri din România a constituit-o construcția laserului cu  $\text{CO}_2$  de mare putere în anul 1967 (100 W în emisie continuă).

Un loc deosebit în dezvoltarea laserilor românești îl ocupă și laserii cu gaze nobile ionizate. Primul model cercetat și construit în 1967 a fost un laser cu argon ionizat cu funcționare în impuls și cvasicontinuu.

În domeniul laserilor cu mediu activ solid, primul laser a fost pus în funcțiune în Institutul de fizică atomică în 1968, obținându-se emisie stimulată la  $1,06 \mu\text{m}$  în regim pulsant, într-o bară de sticlă dopată cu neodim.

În momentul de față, în Secția de cercetare și inginerie tehnologică laseri și instalații cu laseri se desfășoară cercetări complexe privind diversificarea tipurilor de laseri, ridicarea parametrilor funcționali ai laserilor existenți și mărirea numărului de aplicații ale laserilor în cele mai diverse domenii de activitate.

Datorită proprietăților sale specifice (emisie continuă, în vizibil, coerență și direcționalitate ridicate, siguranță în funcționare, preț scăzut), laserul cu He-Ne s-a impus într-o serie de aplicații ca: alinieri, holografie, interferometrie. În cei 15 ani de cercetări științifice și tehnologice s-au realizat diverse tipuri de laseri cu He-Ne și instalații cu astfel de laseri.

În figura 67 este prezentat ultimul laser cu He-Ne, modelul LG-10 de 10 mW, destinat experiențelor de holografie și interferometrie. În direcția obținerii de laseri cu He-Ne cu performanțe îmbunătățite, menționăm recenta realizare a unui tub laser ce emite 60 mW în structura modală cea mai simplă TEM<sub>00</sub>, la o lungime a tubului de 250 cm.

O performanță deosebită în domeniul laserilor cu He-Ne este laserul stabilizat în frecvență, cu puterea de 0,4 mW monofrecvență, cu o lungime de coerență mai bună de 10 m (fig. 36). Asemenea performanțe au fost obținute printr-o construcție mecanică deosebit de stabilă la vibrații și dilatări și o schemă electronică de reglaj automat a lungimii cavității rezonante.



În domeniul laserilor moleculari, studiile efectuate au dus la realizarea unei game diversificate de laseri cu  $\text{CO}_2$  ce acoperă un domeniu larg de aplicații. Aceste

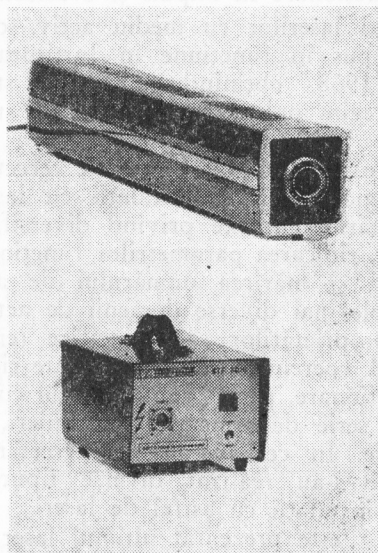


Fig. 67. Laser cu He-Ne de 10 mW și a sursei de alimentare.

tipuri emit puteri între 100 W și 500 W în continuu și 1—100 J în regim de impulsuri, sau puteri de câțiva wați pentru modelul stabilizat în frecvență.

Un laser cu  $\text{CO}_2$  de 300 W este prezentat în figura 68. Pentru aplicații de spectroscopie, holografie și comunicații s-au construit laseri cu argon sau kripton ionizat cu emisie continuă sau în impuls. Puterile obținute sînt în domeniul 0,5 W — 3 W pentru laserul cu argon și 0,5 W pentru cel cu kripton care emite în roșu.

Amintim, de asemenea, laserul cu azot ( $\lambda=0,337 \mu\text{m}$ ), capabil să emită 1 MW în pulsuri de circa 10 ns și laserul cu heliu-cadmiu, care emite în albastru

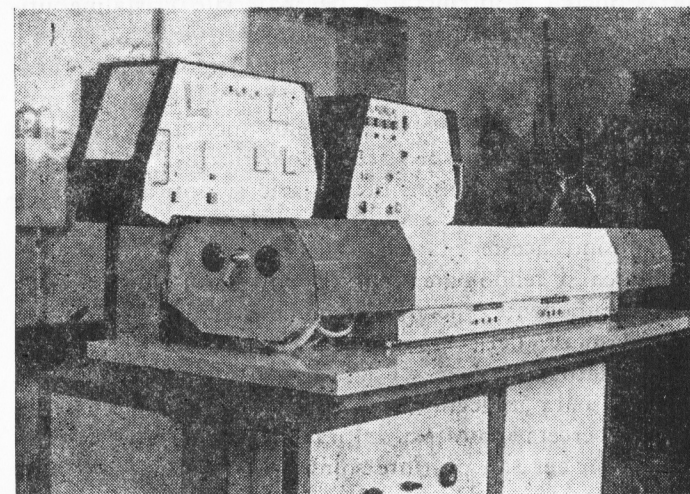


Fig. 68. Laser cu  $\text{CO}_2$  de 300 W.

( $\lambda=0,442 \mu\text{m}$ ) și ultraviolet ( $\lambda=0,325 \mu\text{m}$ ) puteri de zeci de mW, în continuu.

Dintre laserii cu mediu activ lichid a fost abordat laserul cu coloranți organici pompat fonic (fig. 26), care emite în prezent zeci de mJ în impulsuri de aproximativ 1  $\mu\text{s}$ .

Laserii cu rubin și sticlă dopată cu neodim sînt construiți, de asemenea, în mai multe variante cu puteri de 10—20 MW. În prezent se lucrează la un sistem laser cu amplificator de foarte mare energie pentru creare de plasmă foarte fierbinte.

Este important de subliniat că multe componente și tehnologii specifice laserilor sînt realizate în țară și reprezintă contribuții românești originale. Ne referim la obținerea și prelucrarea de materiale cristaline utilizabile ca detectoare sau modulatori (Ge, NaCl, KCl, KDP, ADP etc.), medii active solide amorfe sau cristaline (sticlă cu Nd, YAG cu Nd, rubin etc.), cu proprietăți optice la nivelul cerințelor mondiale. S-au pus la punct tehnologii specifice de purificare a gazelor nobile, de tehnica vidului, de sticlărie și optică, de depuneri în vid etc.

Folosind aceste materiale și tehnologii în Institutul de fizică și tehnologia aparatelor cu radiații se produc atît componente specifice tehnicilor laser — oglinzi, modulatori, deflector de fascicul, polarizori — cît și instalații complexe cu laseri. Cercetări de amploare se desfășoară în legătură cu plasma produsă cu laserul. Aceste cercetări au fost inițiate în 1970. S-au obținut plasmă în aer sau pe ținte solide. S-au obținut rezultate interesante privind pragul de străpungere dielectrică în câmp intens laser în aer și în alte gaze, cu fascicule de laseri cu Nd și CO<sub>2</sub> în impulsuri. De asemenea, s-a studiat influența vecinătății unei ținte metalice asupra pragului de străpungere în gaze. Rezultatele s-au valorificat prin construirea unei instalații de declanșare simultană a mai multor generatoare de foarte înaltă tensiune, prin ionizarea cu laserul a aerului dintre electrozi.

În domeniul opticii neliniare, cercetările vizează în primul rînd dublarea de frecvență și obținerea de pulsuri ultrascurte de ordinul nanosecundelor și picosecundelor.

Cercetări moderne de holografie vizează interferometria holografică, calculul optic și memoriile holografice.

Cea mai mare parte dintre cercetările privind laserii se finalizează prin aplicații industriale necesare economiei naționale sau altor domenii ale vieții sociale.

Am amintit deja realizările românești în operațiile de aliniere cu laseri. Asemenea dispozitive cu laser funcționează la șantierele hidrocentralelor de pe Lotru, la Șantierul tunelului de cale ferată Beia (Brașov), la coșul de fum al termocentralei Turceni, pentru alinieri în construcții-montaj, la șantierul metroului din București sau la lucrările de terasări în agricultură.

Interferometrul cu laser, capabil să măsoare între 0 și 5 m cu precizia de 0,1 μm, funcționează la Fabrica de mașini unelte și agregate București.

Una dintre primele instalații cu laser realizată în țară a fost instalația pentru prelucrarea optică a datelor rezultate din prospecțiuni seismice, care funcționează la Institutul de prospecțiuni geologice și geofizice București, urmată astăzi de instalația de calcul optic CORAL-1, capabilă să execute operații matematice ca derivarea și integrarea.

Instalația de microprelucrări (găuriri și suduri) cu laser cu sticlă cu neodim funcționează din 1975. Instalația găurește materiale dure și greu fuzibile (oțel de scule, vidia, diamant) producînd orificii cu diametre între 5 μm — 0,8 mm pe grosimi de material pînă la 4 mm și microsuduri prin puncte pe adîncimi de 10 μ — 0,3 mm. Instalația este semiautomată.

În acest an se va realiza oftalmoscopul cu laser cu rubin, utilizabil pentru lipiri de retină.

Laserii cu CO<sub>2</sub> echipează instalații cu laser pentru trimmerizare, confecționare de circuite integrate etc.

Cercetările de interferometrie holografică s-au finalizat cu instalații IH-1 și IH-2 destinate unor măsurători industriale de mare precizie.



Se pot evidenția microdeplasări ale unor componente mecanice, deformări, vibrații etc. Instalația IH-2 este utilizată la studiul distribuțiilor de indice de refracție în gaze, lichide și solide transparente, la testarea componentelor optice și fotoelasticitate holografică.

Cercetările de diversificare a laserilor, de îmbunătățire a parametrilor lor și de extindere a domeniilor de aplicație sînt în plină desfășurare.

## CUPRINS

1. PRINCIPIILE FUNCȚIONĂRII LASERILOR .....	7
1.1. Istoric .....	7
1.2. Emisia stimulată și laserii .....	8
1.3. Funcționarea laserului cu rubin .....	13
2. PROPRIETĂȚILE LUMINII LASER .....	15
2.1. Monocromaticitatea .....	15
2.2. Direcționalitatea .....	19
2.3. Coerența .....	23
2.4. Intensitatea .....	29
3. TIPURI DE LASERI .....	32
3.1. Laseri cu mediu activ solid .....	32
3.2. Laseri cu mediu activ semiconductor .....	39
3.3. Laseri cu mediu activ lichid .....	43
3.4. Laseri cu mediu activ gazos .....	46
4. APLICAȚIILE LASERILOR ÎN ȘTIINȚĂ ȘI TEHNICĂ .....	58
4.1. Aplicații în metrologie .....	58
4.2. Aplicațiile laserilor în comunicații .....	67
4.3. Aplicațiile laserilor în medicină și biologie .....	69
4.4. Holografia .....	71
4.5. Prelucrarea optică a informației și calculatoarele .....	81
4.6. Aplicațiile laserilor în prelucrarea materialelor .....	87
4.7. Aplicații în știință .....	91
5. LASERII ÎN ȚARA NOASTRĂ .....	98
<i>Bibliografie selectivă</i> .....	105